

## 第13回共同利用期間(2004A)において実施された利用研究課題

財団法人高輝度光科学研究センター  
利用業務部

第13回共同利用期間(2004A)は、平成16年2月から平成16年7月にかけて実施されました。共同利用研究課題としては、一般利用研究課題に加えて、重点研究課題が実施されました。この期間に実施された共同利用研究課題は全部で568件、総実施シフト数は5230シフトでした。本期間において実施された共同利用研究課題の内訳は次の通りです。

## [ 一般利用研究課題 ]

通常利用課題	390件
(うち、追加募集(BL43IR)11件)	
緊急課題	0件
成果専有利用課題	10件
(うち、時期指定利用6件)	
分科会留保シフト課題	13件
(内訳は、生命科学分科5件、及び産業利用分科8件)	
1年継続課題	7件
長期利用継続課題	6件
(2001B期から開始1件、2002A期から開始1件、2002B期から開始1件、2003A期から開始1件、2003B期から開始2件)	
長期利用新規課題	1件

## [ 重点研究課題 ]

重点ナノテクノロジー支援課題	50件(543シフト)
重点タンパク500課題	57件(231シフト)
重点トライアルユース課題	29件(174シフト)
(うち産業利用分科留保シフト課題9件)	
重点パワーユーザー課題(継続)5件(186シフト)	

今期の共同利用では、R & Dビームライン3本を含む共用ビームライン25本、及び原研・理研ビームラインのうち8本と物材機構・物質研究所のビームライン1本を利用しました。なお、平成16年5月末にBL08Wに故障があり1件の課題が実施できませ

んでした。また、2件の課題が実施シフトを減らしました。この故障で予定通り課題を実施できなかったユーザーの皆様には、多大なご迷惑をおかけいたしましたことを改めてお詫びいたします。

長期利用課題は、2000B期から特定利用課題として開始し、前期(2003B期)から名称変更した制度で、3年にわたってSpring-8を計画的に利用する制度です。今期においては、前期からの継続6件に加えて、新たに1件が開始されました。長期利用課題のうち1課題が、2本のビームラインを利用しました。

今期(2004A期)において専用施設で実施された課題は163件(暫定値)でした。前期(2003B期)の専用施設で実施された課題数は前回154件(暫定値)と報告しましたが、その後確定値として154件と変更ありませんでした。専用施設で稼働しているビームラインは合計9本です。専用施設で実施された課題の内訳は、通常利用が137件で、成果専有利用が26件となっています。成果専有利用の内訳は、前期(2003B)は創薬産業ビームライン(BL32B2)で26件、産業界ビームライン(BL16XU)で1件でしたが、今期(2004A)は創薬産業ビームライン(BL32B2)で24件、兵庫県ビームライン(BL24XU)で2件でした。

今期(2004A)の利用者数は、共同利用では3,756人、専用施設利用では1,269人でした。この数はいずれも延べの人数です。この結果、これまでの13回の共同利用で実施された合計課題数は5,379件、合計利用者数は33,869人となりました。専用施設で実施された合計課題数は1,243件(暫定値)、合計利用者数は10,020人となりました。専用施設利用を合わせた利用状況を表1及び図1に示します。なお、表1における専用施設の利用課題数は、第10回共同利用期間(2002B)から研修会等の課題を省いたものとしています。これにより、専用施設の利用課題数は、利用報告書の出ている成果非専有課題数と成果専有課題数の和となっています。実験責任者の所属

表1 共同利用及び専用施設利用の推移

利用期間		利用時間	共同利用		専用B L	
			利用課題数	利用者数	利用課題数	利用者数
第1回	H 9.10 - H10. 3	1,286	94	681	-	-
第2回	H10. 4 - H10.10	1,702	234	1,252	7	-
第3回	H10.11 - H11. 6	2,585	274	1,542	33	467
第4回	H11. 9 - H11.12	1,371	242	1,631	65	427
第5回	H12. 1 - H12. 6	2,106	365	2,486	100	794
第6回	H12.10 - H13. 1	1,558	382	2,370	88	620
第7回	H13. 2 - H13. 6	2,381	473	2,915	102	766
第8回	H13. 9 - H14. 2	1,893	486	3,277	114	977
第9回	H14. 2 - H14. 7	2,093	543	3,246	110	1,043
第10回	H14. 9 - H15. 2	1,869	538	3,508	143	1,046
第11回	H15. 2 - H15. 7	2,244	632	3,777	164	1,347
第12回	H15. 9 - H16. 2	1,844	548	3,428	154	1,264
第13回	H16. 2 - H16. 7	2,095	568	3,756	* 163	1,269
合計		25,027	5,379	33,869	* 1,243	10,020

\* ) 暫定値

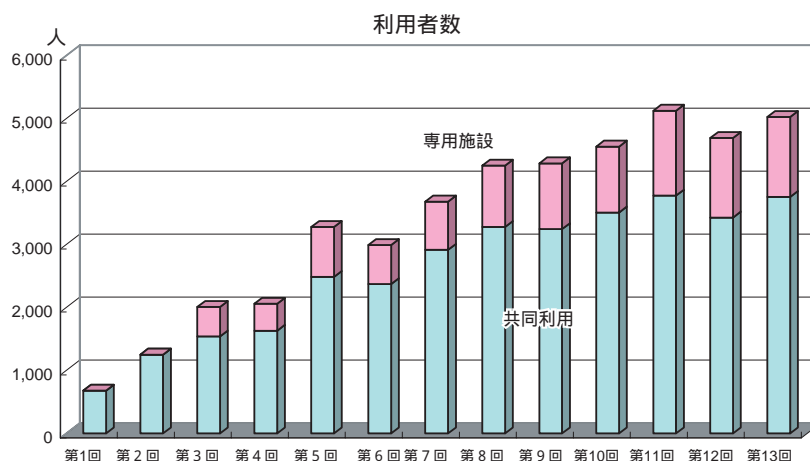
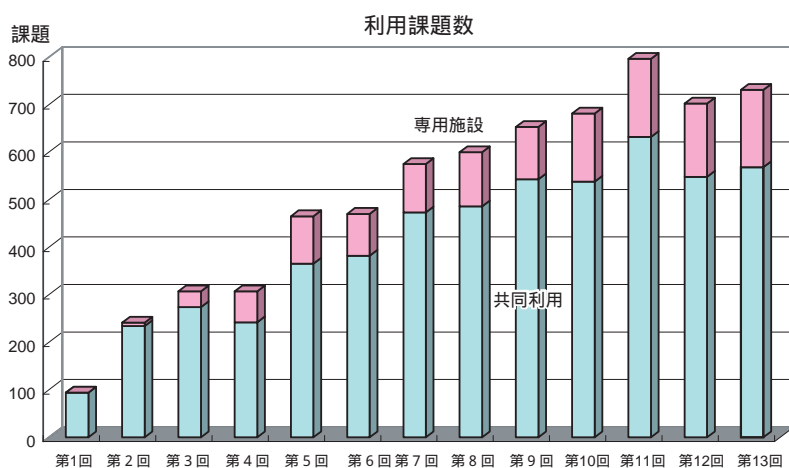


図1 利用課題数(上)及び利用者数(下)の推移

する機関別に研究分野の分布を表2に示します。本表では、実施シフト数も合わせて示しています。共同利用研究課題の平均シフト数は今期(2004A)が9.2で、前期(2003B)の8.8、前々期(2003A)の9.1と9前後であり大きく変化していません。また、機関別、分科会単位での研究分野別の割合もあまり大きな変化はなく、今後新しい共用ビームラインができるまでは提供できる「のベシフト数」に見合った課題数が実施されるものと思われます。但し、重点研究課題のうち課題を公募しない重点パワーユーザー課題や一部の重点戦略課題が1課題あたりで多くのシフト数を使用する場合には、一般課題に割り当てる「のベシフト数」は少なくなりますので状況が変わる可能性があります。

最後に、2004A期で実施された共同利用課題の一覧を表3-1～表3-5に示します。一般共同利用課題の一覧は表3-1、重点ナノテクノロジー支援課題の一覧は表3-2、重点タンパク500課題の一覧は表3-3、重点トライアルユース課題の一覧は表3-4、及び重点パワーユーザー課題の一覧は表3-5にそれぞれ示します。また、表3のシフト数は第10回共同利用期間(2002B)から実施シフト数としています(それ以前は、配分シフト数としていました)。

表2 2004A期共同利用研究課題の実施課題数と実施シフト数：研究分野と機関別分類

研究機関	生命科学		散乱/回折		XAFS		分光		実験技術		産業利用		重点/ユーザー課題		合計		平均シフト数
	課題数	シフト数	課題数	シフト数	課題数	シフト数	課題数	シフト数	課題数	シフト数	課題数	シフト数	課題数	シフト数	課題数	シフト数	
国立大学	99	485.5	92	947	30	252	41	480	9	102	7	42	2	90	280	2398.5	8.6
公立大学	13	57	14	165	3	33	4	54	1	12	2	12	2	81	39	414	10.6
私立大学	18	104	14	156	2	18	6	90	3	54	1	6	0	0	44	428	9.7
国立研究機関等	9	63	10	125	10	88	6	78	0	0	2	15	1	15	38	384	10.1
特殊法人	6	27	9	120	1	12	1	9	0	0	1	6	0	0	18	174	9.7
公益法人	16	207	12	138	1	12	8	78	11	237	4	24	0	0	52	696	13.4
民間	5	21	7	48	6	37	1	6	1	6	48	293	0	0	68	411	6.0
海外	6	39	19	225	2	33	2	27	0	0	0	0	0	0	29	324	11.2
合計	172	1003.5	177	1924	55	485	69	822	25	411	65	398	5	186	568	5229.5	
平均シフト数	5.8		10.9		8.8		11.9		16.4		6.1		37.2		9.2		

表3-1 第13回共同利用において実施された一般共同利用課題一覧

課題番号	課題名	実験責任者	所属	国名	B L	難シフト数
2004A6009-LS-np	高分解能X線励起による高温超伝導物質および関連物質のバルク敏感角度分解光電子分光：光電子分光による高温超伝導体バルク電子状態研究のブレークスルーを目指して	菅 滋正	大阪大学	日本	BL25SU	42
2004A5008-LD3-np	高分解能(磁気)コンプトン散乱測定による巨大磁気抵抗物質の電子及び軌道状態の研究	小泉 昭久	兵庫県立大学 (申請時：姫路工業大学)	日本	BL08W	42
2004A4003-LD1-np	光照射下放射光X線粉末回折による光誘起現象の研究	守友 浩	名古屋大学	日本	BL02B2	15
2004A4855-LD1-np	光照射下放射光X線粉末回折による光誘起現象の研究	守友 浩	名古屋大学	日本	BL40XU	27
2004A3013-LD2-np	100気圧以上における高温その場観察実験の開発と地球惑星内部物質の相転移の研究	巽 好幸	海洋科学技術センター	日本	BL10XU	42
2004A2032-LD3-np	Nuclear Resonance Vibrational Spectroscopy (NRVS) of Hydrogen and Oxygen Activation by Biological Systems	Cramer Stephen	University of California Davis	USA	BL09XU	21
2004A2036-LL1-np	多剤排出蛋白質群のX線結晶構造解析	村上 聡	大阪大学	日本	BL41XU	15
2004A2053-CD1b-np	Intermolecular interaction studies through charge density analysis	Wang Yu	National Taiwan University	Taiwan, ROC	BL02B1	12
2004A2117-CD1a-np	La214系銅酸化物高温超伝導体における“縦”及び“斜め”電荷ストライプ相関の探索	木村 宏之	東北大学	日本	BL02B1	15
2004A2217-CM-np	曲面に発生する遮熱コーティングの残留応力の解析	鈴木 賢治	新潟大学	日本	BL02B1	9
2004A2421-CD1a-np	相変換時における(Bi,Pb)212相への(Bi,Pb)222相 intergrowthの高温下でのその場観察	長村 光造	京都大学	日本	BL02B1	9
2004A2533-CD1a-np	金属一次元伝導体PrBa <sub>2</sub> (Cu,Zn) <sub>2</sub> O <sub>8</sub> 単結晶の構造解析	生田 博志	名古屋大学	日本	BL02B1	12
2004A2787-CD1c-np	トポロジカル結晶の実空間大局的特異性の検証	丹田 聡	北海道大学	日本	BL02B1	9
2004A2790-CD1b-np	有機二次元伝導体-BEDT-TTF2Xにおける2kF電荷密度波の超格子構造解析	野上 由夫	岡山大学	日本	BL02B1	6
2004A0001-ND2b-np	Investigation of possible phase transition in CaSiO <sub>3</sub> perovskite at high pressure and temperature using cubic boron nitride anvils	Wang Yanbin	The University of Chicago	USA	BL04B1	9
2004A0005-CD2a-np	鉄酸化物の温度圧力相図と原子座標	守友 浩	名古屋大学	日本	BL10XU	12
2004A0007-ND2b-np	カルシウムペロフスカイトの高圧相転移の観察	小野 重明	海洋研究開発機構 (申請時：海洋科学技術センター)	日本	BL04B1	15
2004A0009-LM-np	飛翔体搭載用硬X線結像光学系システムの性能評価実験	小賀坂 康志	名古屋大学	日本	BL20B2	24
2004A0011-NL3-np	ナノセラミックス粒子のFT-IR顕微スペクトル計測とイメージング	三好 憲雄	福井大学	日本	BL43IR	6
2004A0012-NXb-np	セリウムおよびガドリニウムK スペクトルの高分解能測定と化学効果の検証	桜井 健次	(独)物質・材料研究機構	日本	BL37XU	18
2004A0013-NXb-np	セリウム置換した発光性ペロフスカイト酸化物のL発光スペクトルによる評価	桜井 健次	(独)物質・材料研究機構	日本	BL40XU	18
2004A0017-CD2b-np	高温高圧条件での酸化鉄の相転移の観察	小野 重明	海洋科学技術センター	日本	BL04B1	6
2004A0018-CD1a-np	リラクサー強誘電体の局所構造	米田 安宏	日本原子力研究所	日本	BL04B2	9
2004A0020-NSc-np	Decoupling of the magnetic ordering of the rare-earth and the Co sublattice in (Er <sub>x</sub> Y <sub>1-x</sub> )Co <sub>2</sub> compounds driven by chemical substitution.	Chaboy Jesus	Universidad de Zaragoza	Spain	BL39XU	15
2004A0023-NSa-np	モット転移近傍の有機伝導体における金属-絶縁体ドメイン構造形成過程の局所顕微赤外分光測定	佐々木 孝彦	東北大学	日本	BL43IR	15
2004A0026-NL1-np	[NiFe]ヒドロゲナーゼのNi-B-光活性型構造の超高分解能X線構造化学	柴田 直樹	兵庫県立大学 (申請時：姫路工業大学)	日本	BL41XU	3
2004A0027-NL1-np	HypIによるコラーゲン三重らせん構造の安定化と不安定化	奥山 健二	東京農工大学	日本	BL40B2	3
2004A0031-ND3b-np	Excitation function for the accelerated decay of the Hf-178m2 nuclear isomer by NEET and EBM processes.	Collins Carl	University of Texas at Dallas	USA	BL09XU	12
2004A0032-ND1b-np	スピントロニクスオーバーラップにおける光誘起相転移の解明	加藤 健一	(前)高輝度光科学研究センター	日本	BL02B2	6
2004A0033-ND1d-np	Sn/Ge(111)表面で観測される電荷密度波相転移の臨界挙動	有賀 哲也	京都大学	日本	BL13XU	15
2004A0034-ND3c-np	タンパク質結晶の転位構造の解析	橋 勝	横浜市立大学	日本	BL28B2	6
2004A0035-NL1-np	ラディキシンFERMドメインとセレクチンの複合体結晶構造解析	北野 健	奈良先端科学技術大学院大学	日本	BL41XU	3
2004A0036-NL2a-np	樹木の成長応力発生機構	杉山 淳司	京都大学	日本	BL40XU	6
2004A0038-NL2a-np	Liquid-ordered phases in glycosphingolipid-phospholipid model membranes	Quinn Peter	Kings College London	UK	BL40B2	9

PRESENT STATUS OF SPring-8

課題番号	課題名	実験責任者	所属	国名	BL	実験ソフト数
2004A0039-NXa-np	エージングによる焼却灰中鉛の安定化機構の解明	高岡 昌輝	京都大学	日本	BL01B1	12
2004A0040-CXa-np	in situ XAFSによる加熱雰囲気下での銅および亜鉛の化学状態変化解析	高岡 昌輝	京都大学	日本	BL01B1	9
2004A0044-ND2a-np	Mn <sub>2</sub> O <sub>3</sub> , FeTiO <sub>3</sub> , NiTiO <sub>3</sub> の高压単結晶回折強度を用いたMEMによる電子密度の圧力変化と電子乖離の可能性	山中 高光	大阪大学	日本	BL02B1	18
2004A0045-CL2b-np	ポリマーコンポジット中のCNTの分散状態解析	高瀬 博文	タキロン(株)	日本	BL40B2	3
2004A0046-NL2b-np	重合誘起ミクロ相分離の形成過程に関する研究	秋葉 勇	北九州市立大学	日本	BL45XU	6
2004A0047-NL2b-np	会合性ブロック共重合体のMesomorphic構造形成に関する研究	秋葉 勇	北九州市立大学	日本	BL40B2	9
2004A0048-NXa-np	高温高压XAFS法によるジャーマネート高密度液相中でのGeO <sub>4</sub> 八面体の圧縮率測定	大高 理	大阪大学	日本	BL14B1	6
2004A0049-ND2a-np	Xラジオグラフィによるジャーマネート液体の圧力誘起構造変化のその場観察	大高 理	大阪大学	日本	BL14B1	6
2004A0050-NL2b-np	キトサン/臭化水素酸塩の繊維X線結晶構造解析	野口 恵一	東京農工大学	日本	BL40B2	3
2004A0052-ND3a-np	コンプトン散乱による金属水素化物CeH <sub>9</sub> の電子構造研究	山本 勲	横浜国立大学	日本	BL08W	15
2004A0053-CSb-np	新規温室効果ガスCF <sub>3</sub> SF <sub>6</sub> の内殻電子励起による位置選択的結合切断のメカニズム	伊吹 紀男	京都教育大学	日本	BL27SU	9
2004A0056-CD1b-np	光誘起スピン転移鉄(II)錯体の双安定および準安定状態の構造に関する研究	速水 真也	九州大学	日本	BL02B2	7
2004A0060-NSa-np	赤外反射吸収分光によるシリコン表面のハロゲン・エッチングにおける振動モードの観測(V)	田中 正俊	横浜国立大学	日本	BL43IR	15
2004A0061-NXb-np	環境中の個別エアロゾル粒子及び霧・雨滴の性状特性の解明	東野 達	京都大学	日本	BL37XU	6
2004A0063-NL1-np	Structural determination of the group 7 mite allergen from Dermatophagoides pteronyssinus by the MAD methods	Liw Shwu-Huey	National Yang-Ming University	Taiwan, ROC	BL41XU	6
2004A0064-NI-np	新規Ca基金水素化物の精密構造解析	青木 正和	(株)豊田中央研究所	日本	BL02B2	3
2004A0067-NI-p	フォトンカウンティングX線検出器の評価	富田 康弘	浜松ホトニクス(株)	日本	BL20B2	1
2004A0068-ND2b-np	固体水素の高温・高压下の圧縮特性	川村 春樹	兵庫県立大学	日本	BL10XU	12
2004A0069-ND2a-np	X線回折実験による高压下のタングステン水素化物の生成と構造の研究	川村 春樹	兵庫県立大学	日本	BL10XU	6
2004A0070-ND2a-np	高压酸素超臨界流体の局所構造解析	赤浜 裕一	兵庫県立大学	日本	BL04B2	12
2004A0072-NXa-np	超臨界水中でのコバルトイオンの水和構造のEXAFSによる評価	原田 雅史	奈良女子大学	日本	BL01B1	3
2004A0074-CL2b-np	時分割極小角X線散乱法によるソフトマターの相転移のダイナミクスに関する研究	竹中 幹人	京都大学	日本	BL20XU	6
2004A0075-NL2b-np	時分割小角X線散乱法による低分子ゲル化剤によるゾルゲル転移のダイナミクスに関する研究	竹中 幹人	京都大学	日本	BL45XU	4.5
2004A0076-ND1d-np	透過型反射率(TRR)法によるSiC/溶融Si界面の構造決定	高橋 功	関西学院大学	日本	BL13XU	9
2004A0077-ND1d-np	透過型反射率(TRR)法による超常磁性コロイド/強磁性体界面における磁性微粒子の凝集パターンの観察	高橋 功	関西学院大学	日本	BL13XU	6
2004A0079-ND3a-np	Dual Nature of Cr-3d Spins in LaCrSb <sub>3</sub> : Magnetic Compton Scattering Study	Kim Chan	Research Institute of Industrial Science & Technology(RIST)	Korea	BL08W	6
2004A0080-NSb-np	Photoionization of open shell molecules at high energies	Hergenahn Uwe	Tohoku University(申請時: Fritz-Haber-Institut der Max-Planck-Gesellschaft)	Japan	BL27SU	15
2004A0083-NSc-np	新しいdouble perovskite強磁性体Sr <sub>2</sub> CuRe <sub>2</sub> Ca <sub>2</sub> O <sub>10</sub> におけるReイオンの役割とCuとReの磁気的結合についての研究	水牧 仁一朗	(財)高輝度光科学研究センター	日本	BL39XU	9
2004A0084-NSc-np	軌道Ferri磁性体CoMnO <sub>3</sub> の軟X線磁気円二色性による研究	水牧 仁一朗	(財)高輝度光科学研究センター	日本	BL25SU	9
2004A0085-CM-np	高エネルギーX線画像検出器の開発	上杉 健太郎	(財)高輝度光科学研究センター	日本	BL20B2	9
2004A0086-NSc-np	軌道フェリ磁性体CoMnO <sub>3</sub> の硬X線MCDによる元素別磁気ヒステリシス測定	河村 直己	(財)高輝度光科学研究センター	日本	BL39XU	12
2004A0088-NSb-np	高分解能しきい電子スペクトルと光電子スペクトルの比較によるサテライトバンド振動状態の解明	下條 竜夫	兵庫県立大学	日本	BL27SU	15
2004A0089-CL3-np	高分解能蛍光X線イメージングのための医学利用サンプルの基礎的検討	八木 直人	(財)高輝度光科学研究センター	日本	BL37XU	9
2004A0090-NL3-np	生物学研究のための垂直X線ビームの生成	八木 直人	(財)高輝度光科学研究センター	日本	BL40XU	12
2004A0091-NI-np	シンクロトロンX線トポグラフィによるSiC単結晶の欠陥評価(4)	広瀬 美治	(株)豊田中央研究所	日本	BL20B2	4
2004A0092-NL1-np	蛇毒由来血管内皮細胞アポトーシス誘導因子のX線結晶構造解析	武田 壮一	国立循環器病センター	日本	BL41XU	3
2004A0096-NXa-np	In-situ DXAFSによるゼオライト細孔内でのAuクラスターの成長過程観察	加藤 和男	(財)高輝度光科学研究センター	日本	BL28B2	12
2004A0098-NSb-np	交換相互作用と原子間クーロン相互作用によるO <sub>2</sub> 分子とN <sub>2</sub> O分子の内殻励起状態の自動電離	上田 潔	東北大学	日本	BL27SU	12
2004A0099-ND3c-np	トボ・トモグラフィ技術を併用した白色X線ラウエ・トポグラフィによる結晶欠陥観察	川戸 清爾	理学電機(株)	日本	BL28B2	12
2004A0100-CD3c-np	全反射及び極微小角入射非対称反射X線トポグラフィ観察によるシリコン表面ナノトポグラフィの成因解明	鈴木 芳文	九州工業大学	日本	BL20B2	4
2004A0101-ND1d-np	ポリエチレン固体膜表面に特有なパラクリスタル構造の評価	佐々木 園	(財)高輝度光科学研究センター	日本	BL13XU	15
2004A0102-CM-np	シェアリングX線干渉計によるベリリウム箔内部欠陥の観察	後藤 俊治	(財)高輝度光科学研究センター	日本	BL20XU	9
2004A0103-ND1d-np	シンクロトロンを用いたその場実時間X線回折測定による延伸中でのポリエチレンフィルムの構造形成	飯田 真	帝人デュボンフィルム(株)	日本	BL40XU	3
2004A0104-CL2b-np	高性能偏光板開発のためのポリビニルアルコールフィルムのX線による構造研究; 小角X線散乱によるヨウ素の吸着過程の研究	宮崎 司	日東電工(株)	日本	BL40B2	3
2004A0106-NI-np	高エネルギーX線によるアルミニウム合金溶接部内部のひずみスキャニング測定	秋庭 義明	名古屋大学	日本	BL19B2	6
2004A0107-ND1c-np	微小領域のひずみ測定によるレーザ加工条件の最適化	秋庭 義明	名古屋大学	日本	BL09XU	12
2004A0108-ND3c-np	極薄Si層の格子面間隔ゆらぎの疑似相コントラストイメージング	志村 考功	大阪大学	日本	BL20B2	9
2004A0109-NM-np	積層型ゾーンプレートの高度化(製造装置改造に伴う集光評価の実験)	上條 長生	関西医科大学	日本	BL20XU	18
2004A0111-NXa-np	生体必須元素を極微濃度置換した高生体活性水酸アパタイトの局所構造解析	中平 敦	京都工芸繊維大学	日本	BL01B1	6

課題番号	課題名	実験責任者	所属	国名	BL	競争力
2004A0112-NXa-np	高圧液相In situ XAFSによる酸化還元反応器中の貴金属触媒の構造分析	藤田 勉	三菱レイヨン(株)	日本	BL01B1	12
2004A0113-ND2a-np	充填スケットルダイト化合物 PrRu <sub>2</sub> P <sub>2</sub> の低温高圧下における相転移	清水 克哉	大阪大学	日本	BL10XU	12
2004A0114-ND2a-np	高圧下におけるPrSb <sub>2</sub> の電荷密度波転移	加賀山 朋子	大阪大学	日本	BL10XU	6
2004A0115-NL1-np	光化学系II膜タンパク質複合体結晶の分解能の改善と構造解析	沈 建仁	岡山大学	日本	BL41XU	9
2004A0116-NXa-np	La <sub>2-x</sub> Sr <sub>x</sub> CuO <sub>4</sub> の偏光・寿命幅フリーXANES分光	林 久史	東北大学	日本	BL39XU	15
2004A0117-ND1c-np	アルミノシリケートゲルのゼオライトへの結晶化過程の解明	大久保 達也	東京大学	日本	BL04B2	12
2004A0121-CL2a-np	種々の負荷条件下で短縮中の心筋クロスブリッジ動態	奥山 博司	川崎医科大学	日本	BL45XU	6
2004A0122-NXa-np	蛍光分光を用いた高エネルギー吸収端XAFSの高エネルギー分解能化と触媒中不表面種同定への応用	泉 康雄	東京工業大学	日本	BL37XU	12
2004A0124-ND2a-np	BI <sub>3</sub> とAsI <sub>3</sub> 圧力誘起分子解離	浜谷 望	お茶の水女子大学	日本	BL04B2	9
2004A0125-ND1d-np	原子ステップパッチの作る、表面内一次元超周期構造からのX線回折の観察	坂田 修身	(前)高輝度光科学研究センター	日本	BL13XU	15
2004A0128-CL3-np	高速X線シャッターを用いたマウスでのin vivo心微小循環実時間観察	梅谷 啓二	(前)高輝度光科学研究センター	日本	BL28B2	3
2004A0129-NL3-np	ラット・マウスでのin vivo脳・心・肝微小循環実時間観察のための多目的撮影装置の開発	梅谷 啓二	(前)高輝度光科学研究センター	日本	BL28B2	24
2004A0132-NL3-np	マイクロ・トモシンセシス(断層撮影)装置の開発	梅谷 啓二	(前)高輝度光科学研究センター	日本	BL20B2	18
2004A0133-NL2a-np	動的タンパク質1分子計測(2)	佐々木 裕次	(前)高輝度光科学研究センター	日本	BL44B2	15
2004A0135-NL2a-np	BL40XUにおける時分割溶液X線小角散乱測定系の検討(2)	井上 勝晶	(前)高輝度光科学研究センター	日本	BL40XU	6
2004A0136-CL2a-np	X線溶液散乱法を用いたアミロイドタンパク質と結合したプロスタグランジンD合成酵素(PGDS)の構造変化に関する研究	井上 勝晶	(前)高輝度光科学研究センター	日本	BL40B2	3
2004A0137-NL2a-np	BL40B2におけるX線小角散乱測定系の検討	井上 勝晶	(前)高輝度光科学研究センター	日本	BL40B2	15
2004A0139-NL1-np	X-ray Crystallographic studies of Dcps, a scavenger decapping enzyme in mRNA turnover	Song Haiwei	The National University of Singapore	Singapore	BL40B2	3
2004A0141-NL2b-np	高強度繊維の延伸過程のその場観察	村瀬 浩貴	(株)東洋紡総合研究所	日本	BL40B2	9
2004A0142-NXb-np	Si(100)上のSn含有SiGeドットの蛍光X線ホログラフィーによる局所構造解析	八島 直久	広島市立大学	日本	BL37XU	12
2004A0143-NL2a-np	皮膚バリアー機能をつかさどる角層中の細胞間脂質ラメラ構造の温度依存性	八田 一郎	福井工業大学	日本	BL40B2	6
2004A0144-NL3-np	マイクロビームX線を用いた生きたヘアレスマウスの皮膚最外層中にある細胞間脂質構造の研究	太田 昇	(前)高輝度光科学研究センター	日本	BL40XU	18
2004A0145-NM-np	Si(100)とGe(100)からの光電子散乱を使った軟X線の偏光の測定	松下 智裕	(前)高輝度光科学研究センター	日本	BL23SU	6
2004A0147-ND1b-np	高性能ポリエチレン単繊維の高応力下における応力分布	西野 孝	神戸大学	日本	BL46XU	12
2004A0148-NL2b-np	金属ナノ粒子より構成される人工粒子結晶の構造解析	八尾 浩史	兵庫県立大学	日本	BL40B2	3
2004A0149-NXb-p	シンクロトロン放射光蛍光X線による証拠物件中の微量元素分析	鈴木 康弘	警察庁科学警察研究所	日本	BL37XU	6
2004A0150-NSc-np	マグネタイトにおける酸素K吸収端の磁気円二色性	中村 哲也	(前)高輝度光科学研究センター	日本	BL25SU	6
2004A0151-NSc-np	BL25SUにおける蛍光法軟X線MCD測定の試行と調整	中村 哲也	(前)高輝度光科学研究センター	日本	BL25SU	6
2004A0152-ND3a-np	超伝導体La <sub>2-x</sub> Sr <sub>x</sub> CuO <sub>4</sub> (x=0.30)の2次元フェルミ面	伊藤 真義	(前)高輝度光科学研究センター	日本	BL08W	18
2004A0153-ND1a-np	W置換した二重ペロブスカイトSr <sub>2</sub> FeMoO <sub>6</sub> の構造解析	森本 正太郎	大阪大学	日本	BL02B2	3
2004A0154-ND1a-np	e <sub>g</sub> 電子配置をもつPrNiO <sub>3</sub> CaFeO <sub>3</sub> における電荷不均化、軌道秩序の観察	森本 正太郎	大阪大学	日本	BL02B1	18
2004A0155-NL1-np	Structural studies on apoptosis or immunity-related proteins	Oh Byung-Ha	Pohang University of Science and Technology	Korea	BL41XU	3
2004A0156-NL1-np	ムスカリン性アセチルコリン受容体M2サブタイプのX線結晶構造解析	市山 進	学習院大学	日本	BL40B2	3
2004A0157-NI-np	X線CT像による、セメント水和組織の空隙構造の観察	人見 尚	(株)大林組	日本	BL47XU	12
2004A0159-NL2b-np	In-situシンクロトロンX線回折で評価したポリテトラフルオロエチレン延伸過程における分子配向ダイナミクスと相構造形成メカニズム	上原 宏樹	群馬大学	日本	BL40B2	3
2004A0161-ND2b-np	高圧X線トポグラフィ法によるオリビン変形挙動のその場観察	神崎 正美	岡山大学	日本	BL04B1	9
2004A0162-ND2b-np	Transformation in hydrous calcium carbonate system (CaCO <sub>3</sub> ·6H <sub>2</sub> O-CaCO <sub>3</sub> )	Tang Chiu	CLRC Daresbury Laboratory	UK	BL02B2	6
2004A0163-ND2b-np	粘土の3次元ベッド構造の可視化とモデル化	松島 亘志	筑波大学	日本	BL47XU	6
2004A0164-ND2b-np	地盤工学における標準砂の3次元粒子形状カタログの作成に向けた高精度X線CTの利用	松島 亘志	筑波大学	日本	BL47XU	6
2004A0165-ND2b-np	破砕性粒子群のせん断挙動の解明	松島 亘志	筑波大学	日本	BL20B2	6
2004A0168-NSb-np	Intra molecular Auger electron scattering and charge transfer of CF <sub>n</sub> and SF <sub>6</sub> probed by high resolution electron-ion coincidence spectroscopy.	Pruempfer Georg	Tohoku University	Japan	BL27SU	12
2004A0169-NL3-np	Spring-8放射光を用いた細気管支の局所コンプライアンスの定量化	世良 俊博	(前)高輝度光科学研究センター	日本	BL20B2	12
2004A0171-ND2a-np	高温高圧下における窒化インジウムZnの分解ならびに融解挙動	内海 渉	日本原子力研究所	日本	BL04B1	12
2004A0172-NM-np	集光結像光学系とX線プリズムを組み合わせた高分解能ホログラフィックイメージング法の研究	鈴木 芳生	(前)高輝度光科学研究センター	日本	BL20XU	30
2004A0173-NM-np	集光マイクロビームX線を用いた結晶構造解析法に関する研究	鈴木 芳生	(前)高輝度光科学研究センター	日本	BL20XU	30
2004A0174-ND3a-np	Compton scattering study of alkali halides in aqueous solutions	Hamalainen Keijo	University of Helsinki	Finland	BL08W	12
2004A0175-NM-np	フレネルゾーンプレートを用いたサブ100nm分解能X線顕微鏡光学系の開発	竹内 晃久	(前)高輝度光科学研究センター	日本	BL20XU	15
2004A0176-NL2a-np	新型ギニエカメラによる高分解能粉末X線回折データを用いた蛋白質・リガンド複合体構造解析の検討	三浦 圭子	(前)高輝度光科学研究センター	日本	BL40XU	18
2004A0177-NL1-np	リポソームのX線結晶構造解析	関根 俊一	(独)理化学研究所	日本	BL41XU	9
2004A0179-ND-p	リチウム二次電池の長期保存試験後の正極材料の構造変化の解析	小林 弘典	(独)産業界技術総合研究所	日本	BL02B2	2
2004A0180-ND1a-np	リチウムモリブデン層状酸化物のリチウム脱離に伴う構造変化の解明	小林 弘典	(独)産業界技術総合研究所	日本	BL02B2	3
2004A0182-NI-np	As除去能に優れた水酸化鉄含有活性炭の局所構造解析	中平 敦	京都工芸繊維大学	日本	BL19B2	3
2004A0184-NSc-np	遷移金属をドーパした室温強磁性酸化亜鉛半導体薄膜の磁化特性に関する研究	品川 勉	大阪市立工業研究所	日本	BL25SU	9
2004A0185-NXb-np	黄砂エアロゾル標準物質および大気エアロゾルの局所元素分析による酸性沈着過程の解明	田辺 晃生	京都大学	日本	BL37XU	6

課題番号	課題名	実験責任者	所属	国名	B L	実施シフト数
2004A0186-NXb-np	Resonant inelastic x-ray scattering and electronic structure of cobalt doped anatase TiO <sub>2</sub> thin ferromagnetic films	Karimov Pavel	Kyoto University	Japan	BL27SU	6
2004A0188-ND1b-np	系と近傍に配置した金属イオンの間で強い電子的相互作用を示すボルフィリン錯体の微小結晶構造解析	高木 繁	名古屋工業大学	日本	BL04B2	6
2004A0192-NL2a-np	心疾患モデルにおける心筋クロスブリッジ動態の解析	Pearson James	国立循環器病センター	日本	BL40XU	12
2004A0193-ND2a-np	Pr <sub>x</sub> Ca <sub>1-x</sub> CoO <sub>3</sub> における圧力誘起金属絶縁体転移機構の解明	西堀 英治	名古屋大学	日本	BL10XU	12
2004A0194-NL1-np	2つの酵素活性を有するTapes japonica lysozymeの構造解析	角田 佳充	九州大学	日本	BL41XU	3
2004A0195-NL1-np	細菌Corynebacterium sp. 由来ボリグルロン酸リアーゼのX線結晶構造解析	角田 佳充	九州大学	日本	BL38B1	3
2004A0196-NSa-np	CeNi <sub>2</sub> CoGe <sub>2</sub> の高分解能3d-4f共鳴光電子分光; 量子臨界点近傍におけるバルクCe 4f電子状態の系統的研究	伊藤 孝寛	岡崎国立共同研究機構	日本	BL25SU	9
2004A0197-CXa-np	溶液表面における金属ボルフィリンの全反射偏光XAFS	永谷 広久	兵庫教育大学	日本	BL39XU	9
2004A0198-NL2b-np	生分解性高分子PHBおよびPLAの流動結晶化における高分子量成分の効果	金谷 利治	京都大学	日本	BL40B2	9
2004A0199-NSc-np	交換結合した3d遷移金属 / Cu多層膜のスペーサーCu層の磁気分極	橋爪 弘雄	奈良先端科学技術大学院大学	日本	BL39XU	15
2004A0201-NXa-np	室温強磁性透明酸化亜鉛半導体膜中の不純物遷移元素の局所構造に関する研究	伊崎 昌伸	大阪市立工業研究所	日本	BL01B1	6
2004A0202-ND1b-np	フラーレン錯体C <sub>60</sub> -TDAE の低温結晶構造と強磁性発現	神戸 高志	岡山大学	日本	BL04B2	6
2004A0205-NL1-np	巨大ヘモグロビンのX線結晶構造解析	三木 邦夫	京都大学	日本	BL41XU	3
2004A0206-NL1-np	セリン・ビルピン酸アミノ基転移酵素のX線構造解析	宮原 郁子	大阪市立大学	日本	BL41XU	3
2004A0211-ND2a-np	圧力下のX線構造解析実験を用いたUNiSnの圧力相図の作成	赤澤 輝彦	神戸大学	日本	BL10XU	6
2004A0212-ND3c-np	X線トポグラフによる無容器結晶成長の効果の検証	安宅 光雄	(株)産業技術総合研究所	日本	BL28B2	12
2004A0213-ND1a-np	シンクロトロン放射光を用いた粉末X線回折によるスピネル化合物Cu <sub>2</sub> FeS <sub>4</sub> の低温構造解析と電子密度分布解析	小山 佳一	東北大学	日本	BL02B2	3
2004A0216-ND1b-np	水溶性チアカリックスアレーンを配位子とするモリブデンカルコゲド錯体の微小結晶構造解析	角田 治夫	岡山理科大学	日本	BL02B1	6
2004A0218-NXa-np	都市ごみ焼却残渣の安定化処理過程における鉛の化合物形態の同定	島岡 隆行	九州大学	日本	BL01B1	12
2004A0219-ND1b-np	層状窒化物超伝導体の精密結晶構造解析	田口 康二郎	東北大学	日本	BL02B2	6
2004A0222-ND1d-np	燃料電池用電極触媒のモデル化 / Pt(111)表面に電着したRuおよびFeの表面界面構造	伊藤 正時	慶應義塾大学	日本	BL13XU	12
2004A0223-ND1d-np	Ni(111)-2x2-O表面に吸着した水モノマーおよび水クラスター分子の表面界面構造解析	伊藤 正時	慶應義塾大学	日本	BL13XU	15
2004A0224-NL2b-np	高分子核生成 " 誘導期 " における核サイズ分布の結晶化温度依存性	彦坂 正道	広島大学	日本	BL40B2	3
2004A0226-NL1-np	細菌べん毛特異的輸送ATPase FliilのX線結晶構造解析	今田 勝巳	大阪大学	日本	BL41XU	9
2004A0227-NL2b-np	弱偏斥力で動的非対称性なジブロック共重合体の相転移挙動	山本 勝宏	名古屋工業大学	日本	BL40B2	3
2004A0230-ND1c-np	半導体クラスレート化合物の液体構造	渡辺 匡人	学習院大学	日本	BL04B2	12
2004A0231-NSa-np	多重極環境下でのCeSb の電子状態	木村 真一	岡崎国立共同研究機構	日本	BL43IR	18
2004A0232-NSb-np	水素結合した分子クラスターの選択的クラスター内光化学反応とエネルギー散逸機構の解明	田林 清彦	広島大学	日本	BL27SU	9
2004A0233-NL2b-np	異常小角散乱法によるZr-CuAl系バルクガラス熱処理材料における組成揺らぎと密度揺らぎの分離評価の試み	奥田 浩司	京都大学	日本	BL40B2	9
2004A0235-ND2a-np	超臨界領域における流体ルビジウム(X線回折実験)	松田 和博	京都大学	日本	BL28B2	30
2004A0241-NL1-np	バクテリオロドプシンのN反応中間体のX線結晶構造解析	神山 勉	名古屋大学	日本	BL40B2	6
2004A0244-NL2a-np	アセトンまたはヘキサノールによるクロコロギ表皮の脂質・タンパク質・多糖類の配列と構造と性差	片桐 千仍	北海道大学	日本	BL40B2	3
2004A0246-NI-np	高エネルギーX線回折による相変化光記録材料のTe原子位置ゆらぎの検討	岩田 周行	(株)リコー	日本	BL19B2	3
2004A0247-ND1d-np	一連のメロシアン色素誘導体が水面上に形成する2次元J会合体の斜入射X線回折法による構造解析	加藤 徳剛	早稲田大学	日本	BL46XU	15
2004A0250-ND2b-np	X線吸収法による圧力下におけるNa珪酸塩メルトの密度測定	浦川 啓	岡山大学	日本	BL22XU	15
2004A0251-ND2b-np	Fe-FeO系の高圧下における融解関係の解明	八木 健彦	東京大学	日本	BL10XU	6
2004A0252-ND2b-np	High pressure deformation of polycrystalline stishovite and the nature of the stishovite-CaCl <sub>2</sub> -type post stishovite phase transition	Merkel Sebastian	University of Tokyo	Japan	BL10XU	6
2004A0255-NSa-np	ギブサイト層を持つ含水鉱物の高圧赤外吸収スペクトル測定	篠田 圭司	大阪市立大学	日本	BL43IR	12
2004A0256-NI-np	廃棄物焼却残渣の安全性向上のための微量成分存在形態の同定	谷山 教幸	川崎重工(株)	日本	BL01B1	3
2004A0261-NSa-np	層状Co酸化物のバルク敏感共鳴光電子分光 (巨大熱電能のバンド構造による解釈)	竹内 恒博	名古屋大学	日本	BL25SU	12
2004A0262-ND1c-np	近似結晶の構造解析によるHume-Rothery安定化機構の検証	竹内 恒博	名古屋大学	日本	BL02B2	6
2004A0263-NSb-np	メチルチオシアネートの内殻励起により生じる解離イオンの運動エネルギー分布測定	岡田 和正	広島大学	日本	BL27SU	9
2004A0267-NL2a-np	調節性軽鎖リン酸化による骨格筋ミオシンの構造変化に対するカルシウムの効果	山口 真紀	東京慈恵会医科大学	日本	BL45XU	8
2004A0268-NL3-np	代謝性骨疾患におけるミネラルリゼーション定量に基づく骨質評価	伊東 昌子	長崎大学	日本	BL20B2	12
2004A0270-NL1-np	ロドプシン光反応初期中間体バソドプシンの高分解能構造解析	岡田 哲二	(株)産業技術総合研究所	日本	BL41XU	3
2004A0271-NL1-np	ロドプシン活性化過程に伴う蛋白質ダイナミクスのX線結晶構造解析	岡田 哲二	(株)産業技術総合研究所	日本	BL41XU	3
2004A0273-NI-np	セラミックスのき裂応力場の2次元可視化によるき裂面架橋効果の評価	坂井田 喜久	静岡大学	日本	BL09XU	12
2004A0274-ND1a-np	新酸化物超伝導体Pr <sub>1-x</sub> (Ba <sub>1-x</sub> Pr <sub>x</sub> ) <sub>2</sub> Cu <sub>3</sub> O <sub>7-y</sub> の精密構造解析	山田 裕	新潟大学	日本	BL02B2	3
2004A0277-ND1d-np	高温環境下における表面および界面拡散によるナノサイズ薄膜の内部応力緩和機構の解明	日下一也	徳島大学	日本	BL13XU	12
2004A0278-ND2b-np	変成岩斜長石中の包有物3次元構造についてX線CT による研究	石井 和彦	大阪府立大学	日本	BL20B2	6
2004A0280-ND2a-np	一次元金属錯体のShear Stress効果のX線回折によるその場観察	城谷 一民	室蘭工業大学	日本	BL04B2	9
2004A0282-NXb-np	シンクロトロン放射光蛍光X線分析法による法科学証拠資料の微量成分分析	中西 俊雄	兵庫県警察本部	日本	BL37XU	9
2004A0283-NL2b-np	シンクロトロン放射光小角散乱測定による法科学証拠資料の異同識別	中西 俊雄	兵庫県警察本部	日本	BL40B2	6
2004A0286-NI-np	減圧下でのガス浮遊レーザー加熱による放射光X線回折システムの開発	村井 健介	(株)産業技術総合研究所	日本	BL02B1	3
2004A0289-NL1-np	古細菌においてGln-tRNA(Gln)を合成する新規タンパク質GatDEとtRNA(Gln)の複合体のX線結晶構造解析	濡木 理	東京工業大学	日本	BL41XU	3
2004A0290-NL1-np	セントロメアの染色体構造を規定するCENP-B蛋白質の2量体ドメインのX線結晶構造解析	濡木 理	東京工業大学	日本	BL41XU	3

課題番号	課題名	実験責任者	所属	国名	B L	難シド数
2004A0292-NL1-np	複製を負に制御するSeqAタンパク質とヘミメチル化DNAとの複合体のX線結晶構造解析	濡木 理	東京工業大学	日本	BL41XU	3
2004A0293-NL1-np	rRNAの3CCA末端の修復を触媒するCCA付加酵素とrRNAの複合体のX線結晶構造解析	濡木 理	東京工業大学	日本	BL41XU	3
2004A0296-ND1b-np	種々のトンネル構造を有するジカルボン酸銅錯体およびそのトルエン吸蔵体の構造	川路 均	東京工業大学	日本	BL02B2	3
2004A0297-NXa-np	深い共晶系融体の揺らぎ構造の局所構造特性解析	伊丹 俊夫	北海道大学	日本	BL01B1	9
2004A0298-NL1-np	微生物多糖リアーゼの構造生物学	橋本 渉	京都大学	日本	BL40B2	6
2004A0299-NL1-np	生殖細胞の分化に働くVasaのRNA helicaseドメインとRNAとの複合体のX線結晶構造解析	仙石 徹	(独)理化学研究所	日本	BL41XU	3
2004A0302-NI-np	放射光XPSによるトンネル酸化膜の膜構造の評価	劉 紫園	NECエレクトロニクス㈱	日本	BL47XU	9
2004A0303-NL1-np	グルタミルシステイン合成酵素-リン酸基転移遷移状態アナログ複合体の構造解析	日弁 隆雄	福井県立大学	日本	BL41XU	3
2004A0304-CL2a-np	タンパク粉末回折カメラを用いた粉末結晶の高分解能X線回折実験	岡 俊彦	慶應義塾大学	日本	BL40XU	6
2004A0305-NL2a-np	金コロイドを用いた蛋白質ゆらぎ計測の実現可能性評価	岡 俊彦	慶應義塾大学	日本	BL40XU	12
2004A0306-ND2a-np	液体テルル化カドミウムおよび液体ヨウ化銀の構造の圧力変化	辻 和彦	慶應義塾大学	日本	BL22XU	18
2004A0307-ND2a-np	液体セレン化亜鉛および液体ヨウ化銀の超高压下での構造	辻 和彦	慶應義塾大学	日本	BL04B1	18
2004A0309-ND1d-np	侵入深さ一定法による微粒子ピーニングされたセラミックスの表面極近傍の残留応力分布評価	田中 啓介	名古屋大学	日本	BL13XU	9
2004A0310-ND1c-np	固体酸化物燃料電池における熱サイクル中の燃料極の酸化還元に伴う内部応力変化のその場測定	田中 啓介	名古屋大学	日本	BL02B1	12
2004A0311-NI-np	高エネルギーX線によるプリント基板内部の金属配線部の熱サイクル中における応力挙動のその場測定	田中 啓介	名古屋大学	日本	BL02B1	12
2004A0313-NL3-np	局所脳虚血再灌流後の過灌流症候群と血管反応性の変化	山下 晴央	兵庫県立柏原病院 (申請時：神戸大学)	日本	BL20B2	12
2004A0314-NL1-np	高分解能X線結晶構造解析によるアミラーゼの反応機構の解明	三上 文三	京都大学	日本	BL38B1	3
2004A0316-NL1-np	基質非結合状態におけるグルタミン酸脱水素酵素のドメイン運動に関する結晶学的研究	中迫 雅由	慶應義塾大学	日本	BL41XU	3
2004A0317-NL2a-np	X線小角散乱法による植物光受容体白質フォトロピン機能最小単位の光構造変化に関する研究	中迫 雅由	慶應義塾大学	日本	BL40B2	6
2004A0322-CD3d-np	Inelastic x-ray scattering measurements for expanded fluid mercury	乾 雅祝	広島大学	日本	BL35XU	18
2004A0323-ND1c-np	IV族半導体融体の高温における局所構造	乾 雅祝	広島大学	日本	BL28B2	3
2004A0324-ND2a-np	超臨界金属流体の密度ゆらぎと金属-非金属転移	乾 雅祝	広島大学	日本	BL04B2	18
2004A0325-ND2b-np	焼結ダイヤモンドアンビルを用いた60GPa領域の圧力発生	山崎 大輔	愛媛大学	日本	BL04B1	6
2004A0327-NSc-np	二次元偏光電子回折によるナノ磁性薄膜の軌道磁気モーメント解析	大門 寛	奈良先端科学技術大学院大学	日本	BL25SU	15
2004A0329-NM-np	可変バンド型軟X線ミラーの特性評価	中川 潤	(株)トヤマ	日本	BL27SU	6
2004A0330-ND3c-np	「回転型四象限X線格子システム」の高エネルギー領域への展開と多波回折現象の研究	沖津 康平	東京大学	日本	BL09XU	9
2004A0331-ND3a-np	強磁性超伝導体UGe <sub>2</sub> の軌道別スピンモーメントの温度変化	山本 悦嗣	日本原子力研究所	日本	BL08W	21
2004A0332-ND3a-np	Fermi surface nesting and the shape memory phenomenon in Ni <sub>2</sub> Al <sub>3</sub> a Compton scattering study.	Dugdale Stephen	University of Bristol	UK	BL08W	21
2004A0334-ND3c-np	微小マイクロホールによる高エネルギー白色平行マイクロビームの特性と希土類多元素LaAlO <sub>3</sub> 単結晶のローカルスペクトロスコーピー・顕微イメージング	近浦 吉則	九州工業大学	日本	BL28B2	18
2004A0338-NL2a-np	クサカゲロウ卵柄の構造解析	和田 昌久	東京大学	日本	BL40XU	3
2004A0339-NI-np	有機変化材料(ドコシルホスホン酸)の粉末X線結晶構造解析	加藤 拓司	(株)リコー	日本	BL02B2	3
2004A0342-NL1-np	X線照射により生ずるヘムオキシゲナーゼ反応中間体の構造決定	福山 恵一	大阪大学	日本	BL40B2	3
2004A0343-ND1c-np	リチウム二次電池用非晶質Sn基酸化物負極材料の構造とリチウム挿入・放出挙動の解明	辰巳 昌弘	大阪府立大学	日本	BL04B2	9
2004A0344-CL2a-np	X線回折による骨組織中コラーゲン-アパタイトの動力学的挙動観察	東藤 正浩	大阪大学	日本	BL40XU	6
2004A0347-ND1a-np	核四重極相互作用と整合するFe <sub>2</sub> BO <sub>4</sub> の電荷秩序構造決定	中村 真一	帝京大学	日本	BL02B2	3
2004A0350-NSa-np	金属電極上に垂直配向したカーボンナノチューブの結合状態の解明	栗野 祐二	(株)富士通研究所	日本	BL47XU	6
2004A0351-NL1-np	変異の導入によりパッキング部位を制御したヒトRNase1の結晶作製	山田 秀徳	岡山大学	日本	BL38B1	3
2004A0352-NL3-np	2色X線CTの基礎研究	取越 正己	(独)放射線医学総合研究所	日本	BL20B2	15
2004A0353-NI-np	攪拌流動層加熱における飛灰中重金属の結合状態変化に関する研究	山本 浩	JFEエンジニアリング㈱	日本	BL01B1	9
2004A0354-NSb-np	コインシデンス法によるKrの深い内殻電子イオン化での多価イオン生成機構	鈴木 功	(独)産業技術総合研究所	日本	BL27SU	9
2004A0355-ND1b-np	レーザー発信波長依存性を狙ったプラセオジウム錯体の構造解析	長谷川 美貴	青山学院大学	日本	BL02B2	6
2004A0356-CM-np	ポーラス金属材料の破壊挙動のX線CTによるその場観察	戸田 裕之	豊橋技術科学大学	日本	BL20B2	3
2004A0361-NI-np	Ba置換したピスマス層状化合物の結晶構造に関する研究	隼瀬 幸浩	(株)村田製作所	日本	BL02B2	3
2004A0364-CL2b-np	溶液中における線状及び環状アミロースの包接構造の解明	湯口 宣明	(独)産業技術総合研究所	日本	BL40B2	3
2004A0365-NI-np	亜鉛とフッ化物の処理を施されたハイドロキシアパタイトの、亜鉛の結合サイト、結合様式に関する研究	高塚 勉	サンスター(株)	日本	BL19B2	6
2004A0367-ND2b-np	(Mg <sub>0.9</sub> Fe <sub>0.1</sub> )SiO <sub>3</sub> ペロフスカイトの電気伝導度の圧力依存性の決定	桂 智男	岡山大学	日本	BL04B1	12
2004A0368-ND2b-np	1700Kにおける(Mg,Fe) <sub>2</sub> SiO <sub>4</sub> のボストスピネル転移のループ幅の決定	桂 智男	岡山大学	日本	BL04B1	12
2004A0370-NL1-np	キノヘムプロテインアミン脱水素酵素の活性中心における構造と機能に関する研究	佐藤 敦子	京都大学	日本	BL40B2	3
2004A0373-NSa-np	Electron-phonon coupling and electronic correlation effects in the 2D dichalcogenides 2H-NbSe <sub>2</sub> and 1T-TaSe <sub>2</sub> studied by bulk-sensitive photoemission	Sing Michael	Osaka University	Japan	BL25SU	12
2004A0374-ND3d-np	Inelastic x-ray scattering on one-dimensional organic conductors	Claessen Ralph	University of Augsburg	Germany	BL19XU	9
2004A0377-ND3d-np	1次元および2次元O <sub>2</sub> 酸化物のモットギャップ励起と電荷移動励起の高分解能共鳴非弾性X線散乱(RIXS)	菅 滋正	大阪大学	日本	BL19XU	21
2004A0378-CD1a-np	磁性強誘電体Bi <sub>2</sub> Pb <sub>3</sub> d遷移金属ペロフスカイトの精密構造解析	東 正樹	京都大学	日本	BL02B2	6
2004A0382-ND1a-np	新規磁性発光体ナノ粒子MO <sub>2</sub> ・Al <sub>2</sub> O <sub>3</sub> ・Eu <sup>2+</sup> (M=Ca, Sr, Ba)の加水分解過程における結晶構造変化の研究	徐 超男	(独)産業技術総合研究所	日本	BL02B2	3
2004A0383-NXa-np	Eu添加アルミニウム酸塩蛍光体のEu価数状態と局所構造の研究	徐 超男	(独)産業技術総合研究所	日本	BL01B1	9
2004A0384-ND2b-np	高温高压下における含水コマチアイトマグマの粘性係数の測定	鈴木 昭夫	東北大学	日本	BL04B1	15

課題番号	課題名	実験責任者	所属	国名	B L	難シド数
2004A0385-NL3-np	放射光による筋萎縮性側索硬化症モデルマウス組織切片上での微量元素測定	高安 聡	大阪大学	日本	BL37XU	12
2004A0386-NSa-np	Al-Ni-CoおよびZn-Mg-Sc単準結晶のバルク敏感角度分解光電子分光	曾田 一雄	名古屋大学	日本	BL25SU	12
2004A0387-NI-np	ジルコニウム合金の残留歪み深さ方向測定	谷山 明	住友金属工業(株)	日本	BL19B2	9
2004A0388-ND1b-np	天然ゴムにおける伸長結晶化の高時間分解能測定	登阪 雅聡	京都大学	日本	BL40XU	3
2004A0389-ND2b-np	hexagonal phase の30GPaまでの安定性とP-V-T関係	新名 亨	愛媛大学	日本	BL04B1	9
2004A0390-NL2a-np	カイコから抽出したシルク原液の紡糸過程における繊維構造形成の小角X線散乱法によるリアルタイム解析	櫻井 伸一	京都工芸繊維大学	日本	BL40B2	3
2004A0391-NL2b-np	シンクロナン小角X線散乱法によるブロック共重合体のマイクロ相分離構造の磁場配向に関する研究	櫻井 伸一	京都工芸繊維大学	日本	BL40B2	6
2004A0392-NL2b-np	水素結合性液晶化合物ANBC-22に見られる経路に依存した相転移挙動のシンクロナン小角X線散乱法による解明	櫻井 伸一	京都工芸繊維大学	日本	BL45XU	7
2004A0396-NM-np	加工された原子炉用ステンレス鋼の応力腐食割れその場観察	椿野 晴繁	兵庫県立大学	日本	BL02B1	12
2004A0397-NXa-np	エネルギー分散型XAFS法によるゼオライト細孔内における金属クラスターの成長過程観察	奥村 和	鳥取大学	日本	BL28B2	12
2004A0399-NL2a-np	スフィンゴ糖脂質マイクロドメインと抗体との相互作用に伴う膜構造変化の解析	平井 光博	群馬大学	日本	BL40B2	3
2004A0401-NXa-np	XAFS実験と第一原理計算に基づいたセラミックス中の超微量ドーパントの定量的解析	田中 功	京都大学	日本	BL01B1	6
2004A0405-NL1-np	MAD法によるウエルシュ菌毒素タンパク質のX線構造解析	北所 健悟	京都大学	日本	BL41XU	3
2004A0410-NI-p	XAFSによる窒化物半導体の局所構造解析	濱松 浩	住友化学工業(株)	日本	BL01B1	1
2004A0411-NXa-np	リチウムイオン挿入脱離に伴うオリピン型酸化物の局所構造および電子構造に関するXAFS解析	内本 喜晴	東京工業大学	日本	BL01B1	9
2004A0414-NSc-np	軟X線吸収MCDを用いた希土類化合物の局所磁性体状態の研究	宮原 恒 暲	東京都立大学	日本	BL25SU	15
2004A0417-ND1c-np	高密度化GeS <sub>2</sub> ガラスの構造解析	内野 隆司	神戸大学	日本	BL04B2	6
2004A0420-NXb-np	古代金属に残留する微量元素の検証	村上 隆	奈良国立文化財研究所	日本	BL37XU	9
2004A0421-ND2b-np	マンタル最下部にいたる条件下でのCaSiO <sub>3</sub> ペロブスカイトへの鉄の固溶と構造変化	藤野 清志	北海道大学	日本	BL10XU	6
2004A0422-ND2b-np	単結晶ダイヤモンドカプセルを用いた含水マグマの粘性及び密度測定	三部 賢治	東京大学	日本	BL04B1	12
2004A0424-NL1-np	DNA修復関与するエンドヌクレアーゼEndoVの構造解析	福山 恵一	大阪大学	日本	BL41XU	3
2004A0425-NL2b-np	有機ゲル化剤が形成するナノメータースケールの超分子集合体に関する構造学的及び動力学的研究	櫻井 和朗	北九州市立大学	日本	BL40B2	9
2004A0427-ND3b-np	ZnOにおける67-Zn 核共鳴散乱の検出	那須 三郎	大阪大学	日本	BL09XU	12
2004A0429-CL2b-np	PETの高速紡糸製造過程での繊維微細構造形成の広角X線散乱オンライン解析手法の開発	千塚 健史	(財)化学技術戦略推進機構	日本	BL38B1	6
2004A0431-CL1-np	カルバゾール分解系メタ開裂酵素2-aminobiphenyl 2,3-diol 1,2-dioxygenase (CarB)のX線結晶構造解析	野尻 秀昭	東京大学	日本	BL41XU	3
2004A0432-CD2b-np	川井式装置による超高压の発生と圧力定点の開発	伊藤 英司	岡山大学	日本	BL04B1	18
2004A0434-ND1c-np	ドライゲルコンバージョン法でのゼオライトの結晶化過程のin-situ観察	松方 正彦	早稲田大学	日本	BL04B2	12
2004A0439-ND3d-np	Study of Phonon Dispersion in icosahedral quasicrystal i-Zn <sub>80</sub> Mg <sub>5</sub> Sc <sub>15</sub> and its cubic approximant Zn <sub>80</sub> Sc <sub>15</sub>	de Boissieu Marc	LTPCM	France	BL35XU	21
2004A0440-CD1d-np	位相敏感X線回折法を利用したSiO <sub>2</sub> /Si界面付近の格子歪みの3次元分布の測定	矢代 航	(株)産業技術総合研究所	日本	BL09XU	18
2004A0441-NL3-np	X線マイクロモグラフィーによるコンドリュール中の金属鉄3次元分布の研究	中村 智樹	九州大学	日本	BL20B2	27
2004A0442-NM-np	非対称共焦点光学系を利用した高空間分解X線イメージング	高野 秀和	日本大学	日本	BL20XU	6
2004A0443-ND1c-np	Ge-Sb <sub>2</sub> (Se, S)系ガラスの高分解能構造解析による短~中距離秩序の解明	櫻井 雅樹	東北大学	日本	BL04B2	9
2004A0445-ND1a-np	欠陥誘起型新規強磁性物質Cu <sub>2</sub> Cl(OH) <sub>3</sub> の欠陥同定	鄭 旭光	佐賀大学	日本	BL02B2	3
2004A0447-ND3c-np	酸素同位体置換したチタン酸ストロンチウムの自発変形のX線トポグラフィーによる測定	尾崎 徹	広島工業大学	日本	BL28B2	12
2004A0448-ND2a-np	C <sub>60</sub> ピーポッド、および開端、閉端カーボンナノチューブの高圧下の構造に関する研究	川崎 晋司	信州大学	日本	BL10XU	6
2004A0451-ND2b-np	沈み込むスラブ中の海洋底玄武岩層の - ネット - ペロブスカイト転移の精密決定	大谷 栄治	東北大学	日本	BL04B1	18
2004A0452-NL2b-np	繊維破断過程における微細構造変化についての時分割小角X線散乱測定による解析	塩谷 正俊	東京工業大学	日本	BL45XU	3
2004A0453-NXb-np	波長分散型蛍光X線法によるCaB <sub>2</sub> 系ナノ結晶薄膜の磁性不純物分析	加藤 宏朗	東北大学	日本	BL37XU	3
2004A0454-NL1-np	膜蛋白質結晶中の脂質二重膜の可視化	豊島 近	東京大学	日本	BL41XU	6
2004A0455-NL1-np	筋小胞体カルシウムポンプの結晶構造解析	豊島 近	東京大学	日本	BL41XU	6
2004A0457-NL1-np	メチオニン救済回路の蛋白質YkrXの結晶構造解析	松村 浩由	大阪大学	日本	BL41XU	3
2004A0458-NI-np	レーザー加熱により溶融した溶接鋼の物性測定	坂井 一郎	広島大学	日本	BL02B1	3
2004A0459-NSb-np	超高分解能軟X線光電子分光法によるフルオロメタン分子の内殻イオン化状態の研究	吉田 啓昇	広島大学	日本	BL27SU	12
2004A0460-NL3-np	X線CTによる土石流堆積物の三次元組織解析	横川 美和	大阪工業大学	日本	BL20B2	6
2004A0461-NL2b-np	放射光X線を用いたポリ乳酸の高温高速延伸過程における結晶化及び結晶転移のリアルタイム観察	澤井 大輔	東京理科大学	日本	BL40B2	3
2004A0462-ND1b-np	希土類元素により集積したポリオキシタンゲン酸の高エネルギーX線結晶構造解析	尾関 智二	東京工業大学	日本	BL04B2	6
2004A0463-ND2b-np	海洋堆積物関連アルミナ相の安定領域と密度変化	入船 徹男	愛媛大学	日本	BL04B1	12
2004A0464-ND2b-np	6-8-2加圧方式による80GPa領域をめざした圧力発生技術の開発	入船 徹男	愛媛大学	日本	BL04B1	18
2004A0465-ND2b-np	高圧下超音波速度精密測定にむけた基礎実験	入船 徹男	愛媛大学	日本	BL04B1	9
2004A0466-NI-np	コーティング工具基材WC-Coの応力深さ分布に対する中間層の影響測定	土屋 新	三菱マテリアル(株)	日本	BL19B2	9
2004A0468-ND3b-np	Fe57核共鳴非弾性散乱による、Fe原子位置規則不規則構造変化に伴う2次元準結晶d-AlNiFeのFe原子振動状態の変化の研究	柴田 薫	日本原子力研究所	日本	BL09XU	9
2004A0469-NSc-np	遷移金属白金合金中の白金の磁性(高圧下XMCD測定によるFe <sub>72</sub> Pt <sub>28</sub> インバー合金の研究)	石松 直樹	広島大学	日本	BL39XU	15
2004A0471-NL2b-np	SAXS・応力・伸び同時測定によるイオン性エラストマーの高次構造と緩和挙動の相関に関する研究	池田 裕子	京都工芸繊維大学	日本	BL40B2	3
2004A0476-ND1a-np	(R,Sr)CoO <sub>3</sub> の粉末X線回折による精密構造解析	生田 博志	名古屋大学	日本	BL02B2	3
2004A0477-ND3b-np	Fe/Si(111)清浄表面からの内部転換電子放射時間スペクトルに観測される振動構造の精密測定	岡野 達雄	東京大学	日本	BL09XU	18



課題番号	課題名	実験責任者	所属	国名	BL	競争力
2004A0481-ND1d-np	Si基板上自己組織化Geナノワイヤーの歪み構造評価	川村 朋晃	NTT物性科学基礎研究所	日本	BL13XU	9
2004A0483-NL3-np	デュアル・マイクロCT計測による骨粗鬆症マウスの骨微細構造及び骨内血流の連関解析	松本 健志	大阪大学	日本	BL20B2	15
2004A0484-NL3-np	X線暗視野法による乳癌早期診断システムの開発	安藤 正海	高エネルギー加速器研究機構	日本	BL20B2	6
2004A0486-NL2b-np	時分割SAXS法による動的歪み下での高分子中のフィラー凝集構造の研究	雨宮 慶幸	東京大学	日本	BL20XU	15
2004A0487-NXa-np	時分割XAFSによる加硫反応機構の解析	岸本 浩通	SRI研究開発(株)	日本	BL01B1	6
2004A0488-NXa-np	プロパン水蒸気吸質用貴金属添付Ni系触媒のXAFSによる構造解析	穴戸 哲也	東京学芸大学	日本	BL01B1	6
2004A0489-NXa-np	ハイドロタルサイト表面固定化金属種の高触媒機能化機構のXAFSによる解明	金田 清臣	大阪大学	日本	BL01B1	6
2004A0490-NXa-np	時間分解XAFSによるデンドリマー-内包パラジウム超微粒子生成機構の解明	金田 清臣	大阪大学	日本	BL28B2	3
2004A0491-NI-np	高速相変化型光記録材料Ge(Sb,Bi) <sub>2</sub> Te <sub>4</sub> 化合物のXAFSによる研究	松永 利之	(株)松下テクノリサーチ	日本	BL01B1	6
2004A0492-ND1c-np	SbTe二元系化合物の結晶構造解析	松永 利之	(株)松下テクノリサーチ	日本	BL02B2	6
2004A0493-NXa-np	ベンジルアルコールの酸化反応におけるCa担持Ag触媒のXAFSによる局所構造の解析	市橋 祐一	神戸大学	日本	BL01B1	3
2004A0494-NL1-np	多波長異常分散法によるVibrio sp. AX4由来エンドトキシン(YYL4)の結晶構造解析	姚 閔	北海道大学	日本	BL38B1	3
2004A0495-NM-np	ゾーンプレートを用いた硬X線干渉顕微鏡の開発	渡辺 紀生	筑波大学	日本	BL20XU	15
2004A0496-NXb-np	走査型蛍光X線顕微鏡を用いた蛍光X線マイクロトモグラフィー	渡辺 紀生	筑波大学	日本	BL47XU	15
2004A0502-NSc-np	圧力下XMCDによる強磁性超伝導体UGe <sub>2</sub> の研究	福田 佳彦	岡山大学	日本	BL39XU	15
2004A0503-ND1d-np	相分離Langmuir膜におけるモルフォロジーと分子充填構造の相関に関するGIXDを用いた研究	飯村 兼一	宇都宮大学	日本	BL46XU	12
2004A0504-CD2a-np	多孔性配位高分子錯体への高圧下での酸素吸着と構造決定	安達 隆文	(前)高輝度光科学研究センター	日本	BL10XU	6
2004A0505-NSa-np	強誘電体BaTiO <sub>3</sub> 結晶歪みの立体原子顕微鏡による直接観察	郭 方准	(前)高輝度光科学研究センター	日本	BL25SU	12
2004A0507-NSb-np	超高分解能オージェ電子・イオン同時計数によるN <sub>2</sub> 三重動起状態およびCO <sub>2</sub> 三重動起状態の超高速解離過程の研究	北島 昌史	上智大学	日本	BL27SU	12
2004A0508-NSb-np	高分解能内殻光電子分光法による分子形状共鳴エネルギーの核間距離依存性	岡田 中大	上智大学	日本	BL27SU	12
2004A0509-ND1c-np	準結晶の融点直上のX線回折測定	田中 純平	(独)理化学研究所	日本	BL04B2	12
2004A0510-ND3d-np	準結晶の融点直上の高分解能X線非弾性散乱測定	岡田 純平	(独)理化学研究所	日本	BL35XU	15
2004A0512-NXa-np	in-situ時分割XAFSによるPt担持CeO <sub>2</sub> -ZrO <sub>2</sub> の酸素放出挙動の解析	田中 庸裕	京都大学	日本	BL28B2	15
2004A0513-ND3b-np	高圧力下 <sup>51</sup> Eu核共鳴前方散乱による電荷秩序Eu <sub>2</sub> As <sub>3</sub> 化合物の電子状態研究	小林 寿夫	兵庫県立大学	日本	BL09XU	18
2004A0514-ND2a-np	電荷秩序Sm <sub>4</sub> Bi <sub>3</sub> 化合物の高圧力下構造相転移の研究	小林 寿夫	兵庫県立大学	日本	BL10XU	12
2004A0515-ND3a-np	磁気コンプトン散乱によるスピネル構造マグネタイトの電子構造研究	小林 寿夫	兵庫県立大学	日本	BL08W	21
2004A0516-ND1a-np	High Resolution X-ray Diffraction Study of the Doped Diamond with Ultrahigh Boron Content	Brazhkin Vadim	Institute for high pressure physics	Russia	BL02B2	6
2004A0517-ND1c-np	High Energy X-ray Diffraction Study of the Exotic Carbon-based Materials (hard sp <sup>2</sup> and sp <sup>3</sup> -type disordered carbon, carbyne, and C <sub>2n</sub> fullerene mixture)	Lyapin Aleksander	Institute for high pressure physics	Russia	BL04B2	12
2004A0519-ND3d-np	High Frequency dynamics of liquid selenium in the semiconductor region	片山 芳則	日本原子力研究所	日本	BL35XU	18
2004A0523-ND3c-np	スペクトロスコピーによる酸素同位体置換したチタン酸ストロンチウムドメインウォール観察	梶原 聖太郎	(前)高輝度光科学研究センター	日本	BL28B2	12
2004A0527-NL3-np	単色X線を用いたMicrosphereによる経動脈的塞栓術の腫瘍微小血管への影響に関する基礎的研究	今井 茂樹	川崎医科大学	日本	BL20B2	15
2004A0528-CL3-np	単色X線を用いた抗悪性腫瘍剤動脈内後の腫瘍微小血管の定量的評価	今井 茂樹	川崎医科大学	日本	BL20B2	3
2004A0532-ND1d-np	シリコンBi単結晶超薄膜 - シリコンの界面構造と熱的安定性の研究	長尾 忠昭	東北大学	日本	BL13XU	15
2004A0534-ND1d-np	反射型高エナジ単色X線回折イメージング法の開発 - 薄膜結晶の逆格子空間の直接観察による結晶空間群迅速決定の試み	坂田 修身	(前)高輝度光科学研究センター	日本	BL13XU	15
2004A0535-NI-np	高温下における蛍石結晶の白色X線トポグラフィーその場観察	野間 敬	キヤノン(株)	日本	BL28B2	12
2004A0536-NM-np	X線位相CTによるポリマーブレンド系の観察	百生 敦	東京大学	日本	BL20XU	18
2004A0537-NM-np	LIGAで作製した透過型回折格子を用いたX線タルボ干渉計の研究	百生 敦	東京大学	日本	BL20XU	12
2004A0538-NL2a-np	ラットおよび心不全ハムスターの拍動左心室自由壁におけるクロスブリッジ動態解析	梶谷 文彦	岡山大学	日本	BL40XU	6
2004A0541-ND2a-np	燐の単純立方・単純六方構造相転移の機構解明	赤浜 裕一	兵庫県立大学	日本	BL10XU	6
2004A0542-NL3-np	腎微小循環系の3次元構築による血管構造解析	小笠原 康夫	川崎医科大学	日本	BL20B2	6
2004A0546-NXa-np	希土類フッ化物系溶融塩の短範囲構造解析	松浦 治明	東京工業大学	日本	BL38B1	6
2004A0547-NXa-np	溶融塩中希土類酸化還元反応のXANESによるその場観察	松浦 治明	東京工業大学	日本	BL01B1	6
2004A0548-NI-np	酸化物核燃料再処理プロセスにおいて生じる希土類イオンの挙動解明	藤田 玲子	(株)東芝	日本	BL19B2	6
2004A0549-NI-np	高密度水素吸収 nano size Pd 微粒子の水素吸収状態での構造研究 - 燃料電池への応用	荒田 吉明	大阪大学	日本	BL19B2	3
2004A0551-NSc-np	高温超伝導体の擬ギャップ状態における時間反転対称性の破れの検証	久保田 正人	高エネルギー加速器研究機構	日本	BL39XU	18
2004A0553-ND2b-np	X線マイクロトモグラフィーを用いた太陽系創世期の水(流体包有物)の探査	土山 明	大阪大学	日本	BL20XU	6
2004A0554-ND2b-np	始原的隕石からの超難揮発性元素に富む包有物の探査	土山 明	大阪大学	日本	BL37XU	9
2004A0555-NL3-np	Phase contrast imaging of wallaby neonate lungs	Whitley Jane	Victorian Institute of Animal Science	Australia	BL20XU	9
2004A0556-NL3-np	Phase contrast imaging of neonatal rabbit lungs	Hooper Stuart	Monash University	Australia	BL20B2	9
2004A0557-NSc-np	軟X線自然円二色性のメカニズムの解明	中川 和道	神戸大学	日本	BL23SU	6
2004A0559-NSb-np	Vibrationally resolved inner shell photoelectron spectroscopy on open shell molecules: across shape resonances	De Fanis Alberto	(前)高輝度光科学研究センター	日本	BL27SU	12

課題番号	課題名	実験責任者	所属	国名	BL	実験ノット
2004A0561-NSc-np	Element-selective investigation of interlayer magnetic coupling of Al-Gd-Fe magnetic multilayer films by means of XMCD.	坂井 信彦	兵庫県立大学 (申請時: 姫路工業大学)	日本	BL39XU	12
2004A0566-ND1d-np	ナノ粒子誘導巨大誘電率を持つチタン酸バリウム粒子の結晶構造解析	八島 正知	東京工業大学	日本	BL02B2	6
2004A0567-NM-np	高エネルギー軟X線用1/4波長板の開発・評価と8の字アンジュレタからの放射光の偏光測定	木村 洋昭	(高輝度光科学研究センター)	日本	BL27SU	6
2004A0568-NM-np	軟X線多層膜を使ったツインヘリカルアンジュレタからの放射光の完全偏光測定	木村 洋昭	(高輝度光科学研究センター)	日本	BL25SU	6
2004A0572-NXa-np	ペロブスカイト型自動車排ガス浄化触媒の自己再生のダイナミクス	西畑 保雄	日本原子力研究所	日本	BL28B2	12
2004A0573-NXa-np	XAFSによるペロブスカイト型自動車排ガス浄化触媒の自己再生機構の研究(3)	上西 真里	ダイハツ工業(株)	日本	BL01B1	12
2004A0577-NM-np	Spectrometer upgrade: 1 meV and Multiple Analyzers	Baron Alfred	JASRI	Japan	BL35XU	90
2004A0578-ND2b-np	Thermoelastic and solution behavior of garnet solid-solutions in the system pyrope-grossular at high pressures and temperature	ウALTER マイケル	岡山大学	日本	BL10XU	6
2004A0580-ND1d-np	セラミックナノ材料の形成過程の研究	足立 基齊	京都大学	日本	BL45XU	3
2004A0582-ND3d-np	Ca置換した正方晶YBCO高温超伝導物質の格子振動異常の研究	福田 竜生	日本原子力研究所	日本	BL35XU	18
2004A0583-NL2a-np	急速凍結筋線維試料の高精度X線回折	岩本 裕之	(高輝度光科学研究センター)	日本	BL45XU	12
2004A0584-NL2a-np	急速凍結したサブナノ生体試料の微小領域高輝度X線回折	岩本 裕之	(高輝度光科学研究センター)	日本	BL40XU	18
2004A0585-NL2a-np	変異ヒト心筋トロポニンを導入した骨筋線維の収縮特性に関する超高速X線回折的研究	岩本 裕之	(高輝度光科学研究センター)	日本	BL40XU	18
2004A0587-NI-np	可視光利用可能光触媒のXAFS分析	尾角 英毅	川崎重工業(株) (申請時: (高輝度光科学研究センター))	日本	BL19B2	3
2004A0588-ND1a-np	UCu <sub>2</sub> Snの共鳴X線散乱	筒井 智嗣	(高輝度光科学研究センター)	日本	BL22XU	12
2004A0589-ND3b-np	充填型スカルゲル化合物における四極子秩序と弾性異常の相関に関する核共鳴非弾性散乱による研究	筒井 智嗣	(高輝度光科学研究センター)	日本	BL09XU	15
2004A0590-ND3d-np	Phonon Dispersion Measurement on One-Dimensional System BaVS <sub>5</sub>	田中 良和	(独)理化学研究所	日本	BL35XU	6
2004A0591-NM-np	水平一方向凝固におけるマクロ偏析形成機構の解明	大中 逸雄	大阪産業大学 (申請時: 大阪大学)	日本	BL20B2	9
2004A0594-NXb-np	MgO単結晶中の微量不純物元素の検出と分布の測定	三田村 徹	兵庫県立大学 (申請時: 姫路工業大学)	日本	BL37XU	3
2004A0596-ND1c-np	ガスジェット浮遊法を用いた高エネルギーX線による酸化ガラスの過冷却状態の構造解析	小原 真司	(高輝度光科学研究センター)	日本	BL04B2	12
2004A0597-ND1c-np	Structure of nano-sized Manganese oxide	Loong Chun	Argonne National Laboratory	USA	BL04B2	6
2004A0598-ND1c-np	The structure of simple molecular liquids and some aqueous electrolyte solutions	Pusztai Laszlo	Research Institute for Solid State Physics and Optics, Hungarian Academy of Sciences	Hungary	BL04B2	12
2004A0600-ND1c-np	Amorphous structure of a novel series of RTMS studied by high energy X-ray diffraction	Chen Dongfeng	Laboratory for Neutron Scattering	China	BL04B2	12
2004A0601-ND1c-np	Structure of the amorphous magnesium aluminosilicate produced from zeolite B	Sankar Copinathan	The Royal Institution of GB	UK	BL04B2	9
2004A0602-ND2a-np	超高压下でのLiHの結晶構造と電子状態の観察	大石 泰生	(高輝度光科学研究センター)	日本	BL10XU	6
2004A0603-ND2a-np	Structural transition of in Si-based clathrates	Jiang Jianzhong	Zhejiang University	P.R. China	BL10XU	6
2004A0605-ND1b-np	K <sub>2</sub> CsC <sub>70</sub> のX線回折	小林 本忠	兵庫県立大学 (申請時: 姫路工業大学)	日本	BL02B2	3
2004A0606-ND2a-np	高圧下での次元性を制御したクラスレート化合物の構造研究	谷垣 勝己	東北大学 (申請時: 大阪市立大学)	日本	BL10XU	6
2004A0611-NL2a-np	マイクロX線ビームを用いた毛髪細胞膜複合体中への水分子輸送の動的的研究	八田 一郎	福井工業大学	日本	BL40XU	9
2004A0612-NL2a-np	X線繊維回折を用いたアクチン重合に伴うC末端領域の位置変化の同定	小田 俊郎	(独)理化学研究所	日本	BL40B2	6
2004A0613-NM-np	蛍光X線、散乱X線の結像によるバルク試料の高分解能イメージング法	竹内 晃久	(高輝度光科学研究センター)	日本	BL37XU	15
2004A0614-ND1b-np	有機ラジカル結晶TTTAの光照射下粉末X線回折	青柳 忍	名古屋大学	日本	BL02B2	6
2004A0616-ND1d-np	Structure of magnetic nanoparticles	Walker Christopher	JASRI	Japan	BL13XU	6
2004A0617-NXa-np	SnK端XAFS法を用いた環境中のスズの直接状態分析	高橋 嘉夫	広島大学	日本	BL01B1	6
2004A0618-NM-np	個別エアロゾルのマイクロディフラクション測定と暗視野イメージング	早川 慎二郎	広島大学	日本	BL37XU	6
2004A0619-CD2b-np	外惑星内部で想定される超臨界流体反応による鉄化合物の生成過程の解明	遊佐 斉	(独)物質・材料研究機構	日本	BL10XU	12
2004A0623-NXb-np	X線マイクロビームによる海棲動物の生体鉱物の直接検出	中井 泉	東京理科大学	日本	BL37XU	9
2004A0624-NXb-np	ファイトレメディエーション植物に蓄積したCdの細胞レベルの蛍光X線イメージング	中井 泉	東京理科大学	日本	BL37XU	9
2004A0625-NXa-np	Structure and Conformation of Two-Dimensional Metalloporphyrin Arrays at the Air/Water Interface	Gentle Ian	The University of Queensland	Australia	BL39XU	12
2004A0627-ND1c-np	Dopant atom location and phase transitions in high performance thermoelectric M <sub>x</sub> Zn <sub>1-x</sub> Sb <sub>3</sub> , M=Cd, Hg, Sn, Pb by anomalous powder diffraction	Iversen Bo	University of Aarhus	Denmark	BL02B2	9
2004A0630-NL2a-np	ケラチン繊維によるマイクロビームX線小角散乱	雨宮 慶幸	東京大学	日本	BL40XU	9
2004A0632-NXa-np	EXAFS Characterization of the Mechanisms of Pb, As, Se Sorption and Surface Precipitation to Apatite Minerals Used in Permeable Reactive Barriers for Groundwater and Contaminant Plume Remediation	Eighmy Taylor	University of New Hampshire	USA	BL01B1	21
2004A0633-NSc-np	X線磁気回折によるウラン化合物の高圧下における磁性の研究	伊藤 正久	群馬大学	日本	BL39XU	15
2004A0634-ND3d-np	IXS study of secondary modes in the high frequency dynamics of liquid Gallium.	Scopigno Tullio	Universita' di Roma "La Sapienza"	Italy	BL35XU	24
2004A0773-UX-p	高輝度X線を用いた燃料電池用材料の特定評価法の研究(1)	蔭山 博之	(独)産業技術総合研究所	日本	BL01B1	3
2004A0774-NSa-np	低温金属表面吸着分子の遠赤外分光	森脇 太郎	(高輝度光科学研究センター)	日本	BL43IR	12
2004A0775-NSa-np	高圧下での3d遷移金属化合物FeSにおける高圧下での電子状態変化の研究	難波 孝夫	神戸大学	日本	BL43IR	18
2004A0776-NSa-np	高圧下での銅スピネル化合物Cu <sub>2</sub> Se <sub>3</sub> における絶縁体相安定化機構の研究	難波 孝夫	神戸大学	日本	BL43IR	12
2004A0777-NSa-np	ナローギャップ半導体の時間分解赤外分光	岡村 英一	神戸大学	日本	BL43IR	12

課題番号	課題名	実験責任者	所属	国名	B L	難シフト数
2004A0778-NSa-np	価数転移物質YbInCu4の破断面を使った赤外顕微分光	岡村 英一	神戸大学	日本	BL431R	6
2004A0779-NSa-np	量子常誘電体の紫外レーザー照射下における赤外分光	岡村 英一	神戸大学	日本	BL431R	6
2004A0780-NSa-np	光誘起スピントロニクスオーバー錯体の遠赤外顕微分光	岡村 英一	神戸大学	日本	BL431R	6
2004A0781-NSa-np	赤外顕微鏡下でのDACを用いた強相関電子化合物における電子状態の圧力変化	入澤 明典	大阪大学(申請時:神戸大学)	日本	BL431R	15
2004A0782-NSa-np	DACを用いた赤外顕微鏡法によるパイロクロア型Mo酸化物の圧力誘起金属絶縁体転移の探索	東谷 篤志	(独)理化学研究所 (申請時:大阪大学)	日本	BL431R	9
2004A0783-NSa-np	InNの基礎吸収端及びプラズマ端測定	福井 一俊	福井大学	日本	BL431R	9
2004A0784-NSa-np	炭素質コンドライト中の炭質物および有機物のその場キャラクタリゼーション	野口 高明	茨城大学	日本	BL431R	9
2004A0786-RL1-np	DNA複製装置のX線結晶構造解析	土屋 大輔	技術研究組合生物分子工学研究所	日本	BL38B1	3
2004A0787-RI-np	マグネシウム系錯体化合物の精密構造解析	砥綿 真一	(株)豊田中央研究所	日本	BL19B2	9
2004A0793-RI-np	還元雰囲気によるPDP用青色蛍光体BAMの劣化抑制効果のXAFSによる検討	本間 徹生	(前)高輝度光科学研究センター	日本	BL19B2	3
2004A0798-RI-np	極微細X線ビームを用いたステンレス鋼の溶接熱影響部における残留応力分布測定	谷山 明	住友金属工業(株)	日本	BL19B2	9
2004A0799-RI-np	高エネルギーX線回折によるNaCl-CsCl系融体の構造解析	明珍 宗孝	核燃料サイクル開発機構	日本	BL19B2	6
2004A0803-RI-np	各種金属電極表面上での表面水素拡散速度と電解生成気泡の溶解過程の解析	才原 康弘	松下電工(株)	日本	BL19B2	9
2004A0804-RI-np	種々の基板におけるポリマー薄膜のX線反射率の研究	岸本 浩通	SRI研究開発(株)	日本	BL19B2	3
2004A0806-RI-np	レーザー照射材表面の残留応力深さ分布の非破壊測定	佐野 雄二	(株)東芝	日本	BL19B2	9
2004A0811-RI-np	XAFSおよびX線回折によるPt触媒微粒子表面での酸素還元反応のその場観察	今井 英人	日本電気(株)	日本	BL19B2	9
2004A0817-RL1-np	モリブデンヒドロキシラーゼの反応中間体の結晶構造による追跡	西野 武士	日本医科大学	日本	BL40B2	3
2004A0818-UX-p	高輝度X線を用いた燃料電池構成材料の特性評価法の研究(1)	蔭山 博之	(独)産業技術総合研究所	日本	BL19B2	1
2004A0819-UX-p	ヘテロポリ酸触媒中の添加元素の酸化状態のXAFS法による解析	中 安夫	三菱レイヨン(株)	日本	BL01B1	1
2004A0820-UX-p	Rh触媒のXAFSによる解析-1-	高木 信之	トヨタ自動車(株)	日本	BL39XU	3
2004A0821-UI-p	XAFSによる窒化物半導体の局所構造解析	濱松 浩	住友化学工業(株)	日本	BL01B1	1
2004A0823-UI-p	ディーゼルパーティキュレートフィルタ(DPT)中の粒子状物質(PM)の推積分布測定	広瀬 美治	(株)豊田中央研究所	日本	BL20B2	1
2004A0824-RL1-np	古細菌由来DNA ligaseのX線結晶構造解析	土屋 大輔	技術研究組合生物分子工学研究所	日本	BL38B1	3
2004A0827-RL1-np	大麻成分の生合成酵素の結晶構造解析	黒木 良太	日本原子力研究所	日本	BL41XU	3
2004A0828-RL1-np	生殖細胞の分化に働くVasaのRNA helicaseドメインとRNAとの複合体のX線結晶構造解析	仙石 徹	(独)理化学研究所	日本	BL41XU	3
実施シフト数合計						4095.5

表3-2 第13回共同利用において実施された重点ナノテクノロジー支援課題一覧

課題番号	課題名	実験責任者	所属	国名	B L	難シフト数
2004A0008-NL3-np-Na	放射光マイクロビームを用いた微量元素による活性酸素発生と炎症発生機構との相関解析	白川 太郎	京都大学	日本	BL37XU	12
2004A0021-NSa-np-Na	超熱O <sub>2</sub> 分子線によるCu <sub>2</sub> Oナノ表面の作製と光電子分光による評価	笠井 俊夫	大阪大学	日本	BL23SU	6
2004A0025-NSc-np-Na	Interface effect on the magnetic anisotropy in Co nanoclusters embedded in a Cu matrix	Fernandez-Gubieda Luisa	Universidad del Pais Vasco	Spain	BL25SU	12
2004A0030-ND1d-np-Na	直線状ナノスケール凹凸配列を有する機能素子表面のX線回折によるドメイン異方性の評価	吉本 護	東京工業大学	日本	BL13XU	15
2004A0041-NXb-np-Na	X線ルミネッセンスを用いたX線ホログラフィーの開発	林 好一	東北大学	日本	BL37XU	9
2004A0055-NSb-np-Na	Si:KVV共鳴オージェ電子-光イオン同時計数法を用いた分子操作の研究	長岡 伸一	愛媛大学	日本	BL27SU	9
2004A0066-CD1d-np-Na	非平衡相からのナノ粒子の出現機構 - 異常X線散乱法の適用 -	鈴木 茂	東北大学	日本	BL15XU	12
2004A0097-NI-np-Na	BGAはんだ接合部における熱疲労損傷の3次元構造解析	佐山 利彦	富山県工業技術センター	日本	BL47XU	12
2004A0170-NM-np-Na	BL39XUにおける走査型XMCD顕微鏡の開発と性能評価	高垣 昌史	(前)高輝度光科学研究センター	日本	BL39XU	21
2004A0215-NXa-np-Na	超音波還元貴金属ナノ複合微粒子のXAFSによる研究	岩瀬 彰宏	大阪府立大学	日本	BL14B1	18
2004A0217-ND1b-np-Na	動的な構造を有する多孔性錯体のナノ空間中での気体分子の特異的凝集状態の直接観測	北川 進	京都大学	日本	BL02B2	12
2004A0220-ND1b-np-Na	新奇機能性分子内包カーボンナノチューブの合成と構造	竹延 大志	東北大学	日本	BL02B2	9
2004A0236-ND1b-np-Na	配向カーボンナノチューブの構造と相転移	真庭 豊	東京都立大学	日本	BL02B2	9
2004A0243-ND1b-np-Na	フラーレンナノウイスカーの結晶構造の精密決定	橋 勝	横浜市立大学	日本	BL02B2	3
2004A0245-NXb-np-Na	蛍光X線分析による有機スズ化合物の組織局在と毒性発現における意義の解明	武田 志乃	(独)放射線医学総合研究所	日本	BL37XU	9
2004A0279-CD1d-np-Na	表面X線散乱法による金単結晶電極表面の酸化膜形成/還元反応のその場構造追跡	佐崎 浩平	北海道大学	日本	BL14B1	15
2004A0285-ND1c-np-Na	高誘電体ゲート絶縁膜材料での高温熱処理と結晶相成長の相関	尾竹 秀喜	(株)東芝	日本	BL02B2	3
2004A0318-NXa-np-Na	サイト選択的励起を用いた希ガス・クラスターの荷電ダイナミクス研究	八尾 誠	京都大学	日本	BL37XU	18
2004A0319-ND1d-np-Na	有機半導体薄膜の表面結晶構造の視斜角入射X線回折に基づく解析	高原 淳	九州大学	日本	BL13XU	15
2004A0320-ND1b-np-Na	珪素系ナノファイバーと(高分子/ナノファイバー)ハイブリッド材料の分子凝集構造	高原 淳	九州大学	日本	BL02B2	6
2004A0345-NSa-np-Na	MOSデバイスの酸化物/半導体界面における電子状態の軟X線分光法による直接観測	山下 良之	東京大学	日本	BL27SU	9
2004A0349-ND1d-np-Na	金属電極上に垂直配向したカーボンナノチューブの密度および根元構造の解明	栗野 祐二	(株)富士通研究所	日本	BL13XU	6
2004A0358-CM-np-Na	先進ポーラス材料のマイクロ構造のX線CTによる可視化	戸田 裕之	豊橋技術科学大学	日本	BL47XU	3
2004A0362-NSa-np-Na	時分割高分解能光電子分光および走査トンネル顕微鏡によるAg(110)表面の酸化と酸化表面の反応性に関する研究	高木 紀明	総合研究大学院大学	日本	BL23SU	6
2004A0371-NSc-np-Na	光電子顕微鏡によるNi <sub>2</sub> Coナノワイヤー、パーマロイナノディスクの磁性研究	小副 真人	広島大学	日本	BL25SU	18
2004A0379-ND2a-np-Na	PbVO <sub>3</sub> の高圧下生成、融解、結晶化その場観察	東 正樹	京都大学	日本	BL14B1	9

PRESENT STATUS OF SPring-8

課題番号	課題名	実験責任者	所属	国名	B L	実施シフト数
2004A0398-ND3d-np-Na	<sup>119</sup> Sn核共鳴散乱法を用いた金属ナノ変調多層膜における伝導電子スピン分極の検出	壬生 攻	京都大学	日本	BL11XU	15
2004A0402-NSc-np-Na	酸化亜鉛中のナノサイズ遷移金属酸化物の軟X線MCD	田中 功	京都大学	日本	BL25SU	6
2004A0404-NSa-np-Na	リアルタイムXPSを用いた超音速酸素 / 水分子線によるNiA表面での酸化膜形成機構の解明	福谷 克之	東京大学	日本	BL23SU	6
2004A0433-CD1d-np-Na	樹脂に充填したナノメーター粒子の小角X線散乱による粒度分布解析	橋本 久之	電気化学工業㈱	日本	BL15XU	9
2004A0435-NSa-np-Na	並進運動エネルギー制御酸素分子によるTi表面酸化の反応ダイナミクス	高桑 雄二	東北大学	日本	BL23SU	12
2004A0437-ND1d-np-Na	自己組織形成強磁性ナノ細線配列の結晶配向制御法の検討とその評価	新宮原 正三	広島大学	日本	BL13XU	12
2004A0444-NI-np-Na	半導体high-k絶縁膜用酸化アルミニウム薄膜のAl K-XAFSによる構造解析	竹村 モモ子	㈱東芝	日本	BL15XU	12
2004A0450-NSc-np-Na	上下をPtで挟まれたFe単原子層の強磁性	今田 真	大阪大学	日本	BL25SU	9
2004A0474-NXa-np-Na	LiNbO <sub>3</sub> やLiTaO <sub>3</sub> などの異極像結晶における厚さと温度によるNbとTaのCoster-Kronig遷移のLX線スペクトルへの影響	伊藤 嘉昭	京都大学	日本	BL15XU	9
2004A0475-NXa-np-Na	Fe K $\beta$ X線発光スペクトルの起源	伊藤 嘉昭	京都大学	日本	BL15XU	9
2004A0479-NSc-np-Na	Pt L $\beta$ 吸収端MCDによるFePtナノ粒子の磁気分極のサイズ効果	圓山 裕	広島大学	日本	BL39XU	12
2004A0498-ND3b-np-Na	核共鳴散乱による鉄貯蔵蛋白質フェリチン内部の鉄貯蔵プロセスの初期段階の研究	春木 理恵	高エネルギー加速器研究機構	日本	BL11XU	12
2004A0500-NSa-np-Na	エピタキシャル鉄-チタン酸化物薄膜の電子構造解析	藤井 達生	岡山大学	日本	BL15XU	9
2004A0506-CD3b-np-Na	次世代磁気記録メディアPtFe合金薄膜のフォノン	角田 頼彦	早稲田大学	日本	BL11XU	12
2004A0511-NSc-np-Na	綿状磁区構造を有する超高密度磁気記録材料CoNiFe合金系軟磁性膜の軟X線磁気円二色性の研究	朝日 透	早稲田大学	日本	BL23SU	12
2004A0522-ND1c-np-Na	プラスチック基板にMgB <sub>2</sub> 薄膜の高特異性と構造との相関	久保 衆伍	島根大学	日本	BL02B2	3
2004A0550-NSc-np-Na	光電子顕微鏡を用いたナノスケール元素選択磁気イメージングによる垂直磁気記録材料の研究	小野 寛太	高エネルギー加速器研究機構	日本	BL39XU	15
2004A0563-NSa-np-Na	高誘電率ゲート絶縁膜 / シリコン界面遷移層の深さ方向分析	服部 健雄	武蔵工業大学	日本	BL47XU	18
2004A0564-NSa-np-Na	ゲート絶縁膜 / シリコン界面遷移層の深さ方向分析	服部 健雄	武蔵工業大学	日本	BL27SU	12
2004A0565-NSa-np-Na	高エネルギー光電子分光による 族窒化物系希薄磁性半導体の電子構造解明	牧野 久雄	東北大学	日本	BL47XU	9
2004A0593-NM-np-Na	偏晶系凝固を利用したマイクロ・ナノポーラス銅合金の3次元構造解析	安田 秀幸	大阪大学	日本	BL47XU	12
2004A0607-ND1b-np-Na	電荷効果型素子基板の超ドープ構造ナノクラスター薄膜の結晶構造解析	谷垣 勝己	東北大学(申請時:大阪市立大学)	日本	BL02B2	9
2004A0609-NSa-np-Na	SPELEEMによるナノ構造試料観察の立ち上げ、およびナノ材料研究への応用	越川 孝範	大阪電気通信大学	日本	BL27SU	24
2004A0610-NSa-np-Na	強磁性体 / 高温超伝導体接合の界面ナノ領域における化学結合状態	岸田 悟	鳥取大学	日本	BL15XU	9
実施シフト数合計						543

表3-3 第13回共同利用において実施された重点タンパク500課題一覧

課題番号	実験責任者	所属	国名	B L	課題番号	実験責任者	所属	国名	B L
2004A0638-NL1-np-P3k	芳本 忠	長崎大学	日本	BL38B1	2004A0694-NL1-np-P3k	田中 信忠	昭和大学	日本	BL41XU
2004A0640-NL1-np-P3k	芳本 忠	長崎大学	日本	BL41XU	2004A0695-NL1-np-P3k	永田 宏次	東京大学	日本	BL38B1
2004A0641-NL1-np-P3k	箱嶋 敏雄	奈良先端科学技術大学院大学	日本	BL38B1	2004A0698-NL1-np-P3k	福山 恵一	大阪大学	日本	BL38B1
2004A0646-NL1-np-P3k	樋口 芳樹	兵庫県立大学 (申請時: 姫路工業大学)	日本	BL41XU	2004A0700-NL1-np-P3k	福山 恵一	大阪大学	日本	BL41XU
2004A0647-NL1-np-P3k	黒木 良太	日本原子力研究所 (申請時: キリンビール㈱)	日本	BL38B1	2004A0701-NL1-np-P3k	田之倉 優	東京大学	日本	BL38B1
2004A0650-NL1-np-P3k	森本 幸生	京都大学	日本	BL38B1	2004A0703-NL1-np-P3k	田之倉 優	東京大学	日本	BL41XU
2004A0651-NL1-np-P3k	森本 幸生	京都大学	日本	BL40B2	2004A0705-NL1-np-P3k	野中 孝昌	長岡技術科学大学	日本	BL40B2
2004A0652-NL1-np-P3k	森本 幸生	京都大学	日本	BL41XU	2004A0706-NL1-np-P3k	野中 孝昌	長岡技術科学大学	日本	BL41XU
2004A0653-NL1-np-P3k	倉光 成紀	大阪大学	日本	BL38B1	2004A0707-NL1-np-P3k	山口 宏	関西学院大学	日本	BL38B1
2004A0654-NL1-np-P3k	倉光 成紀	大阪大学	日本	BL40B2	2004A0710-NL1-np-P3k	神山 勉	名古屋大学	日本	BL38B1
2004A0656-NL1-np-P3k	加藤 博章	京都大学	日本	BL38B1	2004A0713-NL1-np-P3k	三上 文三	京都大学	日本	BL38B1
2004A0658-NL1-np-P3k	加藤 博章	京都大学	日本	BL41XU	2004A0715-NL1-np-P3k	三上 文三	京都大学	日本	BL41XU
2004A0662-NL1-np-P3k	田中 信夫	東京工業大学	日本	BL38B1	2004A0716-NL1-np-P3k	今野 美智子	お茶の水女子大学	日本	BL38B1
2004A0663-NL1-np-P3k	田中 信夫	東京工業大学	日本	BL40B2	2004A0721-NL1-np-P3k	河合 剛太	千葉工業大学	日本	BL41XU
2004A0665-NL1-np-P3k	渡邊 啓一	佐賀大学	日本	BL38B1	2004A0726-NL1-np-P3k	松村 浩由	大阪大学	日本	BL40B2
2004A0668-NL1-np-P3k	今田 勝巳	大阪大学	日本	BL38B1	2004A0727-NL1-np-P3k	松村 浩由	大阪大学	日本	BL41XU
2004A0670-NL1-np-P3k	今田 勝巳	大阪大学	日本	BL41XU	2004A0728-NL1-np-P3k	田中 勲	北海道大学	日本	BL38B1
2004A0674-NL1-np-P3k	三木 邦夫	京都大学	日本	BL38B1	2004A0729-NL1-np-P3k	田中 勲	北海道大学	日本	BL40B2
2004A0675-NL1-np-P3k	三木 邦夫	京都大学	日本	BL40B2	2004A0730-NL1-np-P3k	田中 勲	北海道大学	日本	BL41XU
2004A0676-NL1-np-P3k	三木 邦夫	京都大学	日本	BL41XU	2004A0731-NL1-np-P3k	日井 隆雄	福井県立大学	日本	BL38B1
2004A0680-NL1-np-P3k	金谷 茂則	大阪大学	日本	BL38B1	2004A0743-NL1-np-P3k	清水 敏之	横浜市立大学	日本	BL38B1
2004A0683-NL1-np-P3k	角田 佳充	九州大学	日本	BL38B1	2004A0744-NL1-np-P3k	清水 敏之	横浜市立大学	日本	BL40B2
2004A0684-NL1-np-P3k	角田 佳充	九州大学	日本	BL40B2	2004A0746-NL1-np-P3k	山縣 ゆり子	熊本大学	日本	BL38B1
2004A0685-NL1-np-P3k	角田 佳充	九州大学	日本	BL41XU	2004A0749-NL1-np-P3k	橋本 博	横浜市立大学	日本	BL38B1
2004A0688-NL1-np-P3k	杉山 政則	広島大学	日本	BL41XU	2004A0751-NL1-np-P3k	橋本 博	横浜市立大学	日本	BL41XU
2004A0689-NL1-np-P3k	神田 大輔	九州大学	日本	BL38B1	2004A0752-NL1-np-P3k	養王田 正文	東京農工大学	日本	BL38B1
2004A0690-NL1-np-P3k	神田 大輔	九州大学	日本	BL40B2	2004A0764-NL1-np-P3k	植田 正	九州大学	日本	BL38B1
2004A0691-NL1-np-P3k	神田 大輔	九州大学	日本	BL41XU	2004A0765-NL1-np-P3k	植田 正	九州大学	日本	BL40B2
					2004A0772-NL1-np-P3k	稲垣 冬彦	北海道大学	日本	BL41XU

表3-4 第13回共同利用において実施された重点トライアルユース課題一覧

課題番号	課題名	実験責任者	所属	国名	BL	ビーム径
2004A0140-NI-np-TU	極小角X線散乱法による高分子繊維構造に関する研究	村瀬 浩貴	(株)東洋紡総合研究所	日本	BL19B2	6
2004A0146-NI-np-TU	LSI, Wプラグの微小部応力測定	尾崎 伸司	(株)松下テクノリサーチ	日本	BL46XU	9
2004A0183-NI-np-TU	高活性可視光応答型光触媒能を有するTi置換型層状複水酸化物の局所構造解析	中平 敦	京都工芸繊維大学	日本	BL19B2	3
2004A0237-NI-np-TU	$\mu$ -XRFおよび $\mu$ -XAFSによる多結晶シリコン太陽電池中の鉄の結晶内分布および局所的結合状態の研究	大下 祥雄	豊田工業大学	日本	BL37XU	6
2004A0238-NI-np-TU	微小角入射X線散乱を用いた低誘電率薄膜の動径分布測定	鈴木 貴志	(株)富士通研究所 (申請時:富士通(株))	日本	BL46XU	6
2004A0257-NI-np-TU	X線回折による溶接金属凝固組織のin-situ観察技術の開発	米村 光治	住友金属工業(株)	日本	BL46XU	9
2004A0281-NI-np-TU	XAFSによる高誘電体ゲート絶縁膜材料の構造解析	佐竹 秀喜	(株)東芝	日本	BL01B1	6
2004A0288-NI-np-TU	光増幅器用Erドープシリケートガラスの局所構造の調査	笹井 淳	旭硝子(株)	日本	BL01B1	3
2004A0326-NI-np-TU	微小角入射X線散乱による配向膜ポリイミド分子鎖の傾斜角に関する検討	横田 純一郎	チッソ石油化学(株) (申請時:チッソ(株))	日本	BL19B2	9
2004A0335-NI-np-TU	有機自己組織化膜の表面回折による構造解析	谷 克彦	(株)リコー	日本	BL19B2	6
2004A0340-NI-np-TU	微小角入射X線散乱測定によるダイヤモンドライカーボン(DLC)膜の非晶質構造解析-水素含有量依存性の検討	濱田 紘	松下電工(株)	日本	BL19B2	9
2004A0403-NI-np-TU	酸化亜鉛系セラミックスにおける超微量ドーパントのXAFS	森分 博紀	松下電子部品(株)	日本	BL01B1	6
2004A0467-NI-np-TU	フロートガラス表面における種々イオンの価数分析	滝本 康幸	旭硝子(株)	日本	BL19B2	3
2004A0499-NXb-np-TU	高濃度塩化物中の極微量金属元素の定量	谷内 俊彦	(株)YAKINI川崎	日本	BL37XU	3
2004A0531-NI-np-TU	家電製品搭載用触媒に担持された希薄金属の局所構造解析	松岡 雅也	大阪府立大学	日本	BL19B2	3
2004A0540-NI-np-TU	Hfアルミネート薄膜の動径分布測定	廣沢 一郎	(前)高輝度光科学研究センター	日本	BL46XU	6
2004A0579-NI-np-TU	蛍光体材料に微量にドーパされた発光サイトのXAFS解析手法の確立	本間 徹生	(前)高輝度光科学研究センター	日本	BL01B1	12
2004A0581-NI-np-TU	微小角入射X線散乱法による鉄不動態皮膜の構造解析	山下 正人	兵庫県立大学 (申請時:姫路工業大学)	日本	BL46XU	9
2004A0586-NI-np-TU	新規なゾルゲル法により調製した酸化チタン薄膜のXAFS測定	井村 達哉	川崎重工業(株)	日本	BL19B2	3
2004A0615-NI-np-TU	フッ素系潤滑剤の吸着厚み、形態に関するX線の測定	坂根 康夫	(株)松村石油研究所MORESCO	日本	BL19B2	9
2004A0788-RI-np-TU	XAFS測定によるベンタシルゼライト担持希土類金属(La, Ce)触媒の化学構造解析	斉藤 昇	(株)日本触媒	日本	BL19B2	3
2004A0789-RI-np-TU	Ce賦活Gd <sub>2</sub> SiO <sub>5</sub> 系シンチレータ材料における賦活剤および添加剤置換サイトの解析手法確立	八木 康洋	日立化成工業(株)	日本	BL19B2	6
2004A0792-RI-np-TU	X線回折測定による、樹脂モールドされた基板の素子に働く熱応力の分析	一井 秀樹	三相電機(株)	日本	BL19B2	6
2004A0794-RI-np-TU	静電容量と活性炭構造(結晶性)の相関を求める研究	西村 修志	クラレケミカル(株)	日本	BL19B2	3
2004A0795-RI-np-TU	各種ポリマーセメント系材料における白華生成物構造解析および白華防止剤効果の確認	宮下 景子	(株)大関化学研究所	日本	BL19B2	6
2004A0801-RI-np-TU	表面結晶化度の液晶配向性に与える影響	酒井 隆宏	日産化学工業(株)	日本	BL19B2	9
2004A0802-RI-np-TU	X線回折及びXAFS測定による、非晶質Mg <sub>90</sub> Pd <sub>10</sub> 合金薄帯の構造解析	濱田 紘	松下電工(株)	日本	BL19B2	9
2004A0810-RI-np-TU	光増幅器用Erドープシリケートガラスの局所構造の調査	笹井 淳	旭硝子(株)	日本	BL19B2	3
2004A0814-RI-np-TU	水酸化鉄含有活性炭のFe局所構造解析と高As除去能の解明	中平 敦	京都工芸繊維大学	日本	BL19B2	3
実施シフト数合計						174

表3-5 第13回共同利用において実施された重点パワーユーザー課題一覧

課題番号	課題名	実験責任者	所属	国名	BL	ビーム径
2004A3888-PU1-np	光励起分子および光誘起現象の放射光構造解析、有機-無機複合化合物の精密構造解析	鳥海 幸四郎	兵庫県立大学 (申請時:姫路工業大学)	日本	BL02B1	54
2004A3889-PU1-np	粉末結晶による精密構造物性の研究	黒岩 芳弘	岡山大学	日本	BL02B2	36
2004A3890-PU1-np	コンプトン散乱法を用いた研究の範囲拡張に関する実験的技術の整備および開発	小泉 昭久	兵庫県立大学 (申請時:姫路工業大学)	日本	BL08W	27
2004A3891-PU1-np	核共鳴散乱法の高度化研究とそれを用いた局所電子構造・振動状態の研究	瀬戸 誠	京都大学	日本	BL09XU	54
2004A3892-PU1-np	地球深部物質の構造解析	巽 好幸	海洋科学技術センター	日本	BL10XU	15
実施シフト数合計						186